

河川 低湿地緩流河川の治水計画について

—寝屋川水系の調査から計画の樹立まで—

正 員 広 長 良 一*
 正 員 八 島 忠**
 正 員 坂 野 重 信***

ON THE RIVER IMPROVEMENT PLAN OF THE RIVER FLOWING SLOWLY IN THE LOW HUMIDITY LAND

From the Investigation to the Establishment of the Plan
Concerning the System of the River Neya

(Trans. of JSCE No. 20, July 1954)

By Ryūichi Hironaga, C.E. Member, Tadashi Yashima, C.E. Member,
and Shigenobu Sakano, C.E. Member

Sonopsis Regarding the hydraulics of the rivers flowing slowly in the low humidity land and of especially tidal compartment, there are many problems to be solved in the future. So there are some cases where it is difficult for us to establish the river improvement plan. This paper treats the process and idea covering from the spot survey, observation to the establishment of the plan concerning the system of the river Neya in Ōsaka Prefecture which is said to be the representative case of the rivers flowing slowly in the low humidity land.

要 旨 低湿地緩流河川，特に感潮部の水理については，今後に解決をまつ問題点を含んでいるため，これが合理的な治水計画の樹立に往々困難を感じさせられる場合があるが，本文は低湿地緩流河川の代表例ともいふべき大阪府下寝屋川水系について，実地調査，観測から計画案樹立に至るまでの過程と考え方について論述したものである。

目 次

- | | |
|---------------------------|---------------------------|
| 1. 緒 言 | 8. 計画高水流量の算定——外水流量と内水流量 |
| 2. 流域・河川の現況——特異性と治水対策の困難性 | 9. 大川筋河口の計画高水位の推定——大阪湾の潮位 |
| 3. 調 査 | 10. 改修計画の諸元に関する考察と扱い方 |
| 4. 流域の実態調査の概要 | 11. 改修の基本計画 |
| 5. 雨量の資料整理と考察 | 12. 経済効果の考察 |
| 6. 浸水量の資料整理と考察 | 13. 結 言 |
| 7. 水位と流量の実測資料整理と考察 | |

* 大阪府土木部長

** 大阪府土木部河川課長

*** 大阪府土木部河川課改良工事係長

1. 緒 言

本文はまづ調査を必要とした事情を、また何をねらいとしたか、いかなる方法で調査を実施したかを論述し、資料のとりまとめ整理から計画流量、水位等の決定に至るまでの過程と基本計画に論及し、さらに経済効果について考察を試みたものである。計画高水流量は実測結果を流出函数を用いて一般式化して、既往の雨量記録から将来の土地利用計画をも考慮に入れて算出した。流量及び水位については、低湿地感潮河川の特性にかんがみ、外水と内水とに分けて考える方法を採用し内水排除計画の資料とした。計画高水位算定の基準となる河口水位の決定に当つては大阪湾についての既往の潮位と雨量との関係を分析して合理的になるべく低いものをとることとした。また浸水量の算出に当つては一旦地形を近似的に仮定したものを contour 測量の結果によつて補正する方針も採つたが、結果的にみると当初の仮定と大差はなかつた。

実地調査の範囲は、下流は大阪湾の潮汐から上流は生駒山系森林、砂防関係まで及ぼした。調査目標は治山、治水に主眼をおいたほか、利水面にも範囲を拡大した。

2. 流域・河川の現況

——特異性と治水対策の困難性——

a) 自然的悪条件

この流域は往古大和川が乱流しており、また淀川の氾濫区域に属していたところで、流域面積 267 km²のうち約 14% の山地を除いては大部分が沖積層よりなる低湿平地で、寝屋川水系 14 河川のうち大半は 1/3 000 程度以下の緩勾配で感潮区域に属している。しかも各河川ともいづれも通水能力が不足している上に、下流部は寝屋川本川一本で流量を負担している。従つて降雨ごとに流域内の低湿地の各所において浸水し、それが数日間滯水し天然の遊水池のごとき状況を呈している。

b) 人為的悪条件

各河川とも大半が淀川、大和川より取水する用水路であるが出水期には排水路となり、いわゆる排水兼用水路で、自然河川とは異なり水の流れ方、集水区分等が把握しがたい。かくのごとく用排水系統が複雑でその調整が困難な上、従来局部的に改修された区間も用水重点で排水上からは、かえつて河積を狭小ならしめる等の悪条件を生じている。

c) 経済的条件

流域内には大阪市を始め 6 市 30 町村があり人口 161 万人で、この地域は大阪府の枢要部を占め土地の利用度は大である。下流部は大阪市の中心部で人家、工場が密集していて、拡巾したり、水位を増大したりすることは困難である。しかしたび重なる浸水のため低湿田地は一毛作を余儀なくされ、市街地は発展を阻害されて慢性病のごとき状態を呈している。従つて利水を加味した改修工事が完成すれば土地の利用度がさらに増大することは明らかである(詳細は後述する)。

3. 調 査

1) 調査要領

a) 調査の必要性

前述の特性に鑑み、単に机上の計算のみによつては流れの実態が把握しがたく、利水面をも加味した総合的治水計画の樹立が困難である。また模型実験によつて流れの推定をなすには河床があまりにも複雑であり、粗度係数その他の諸条件の相似率、経費等の面においてもかえつて隘路が考えられたため、実地について詳細な具体的調査を実施する必要が生じたのである。

b) 調査のねらいと種別・方法

調査目標と種別方法を一覧表に示したものは表-1で、調査、観測方法の詳細については「寝屋川水系調査要綱」を作製して、これによることにしたが、概要は表-1のとおりである。

c) 調査観測地点の配置

調査観測地点の配置については、洪水観測に重点をおいたが、経費と人員の関係もありできるだけ圧縮に努め、考え方としては次の方針をとつた。

(i) 山間部生駒山系の流量が全流量に対して占める割合が大きいと考えられるので、寝屋川上流部及び恩智川に比較的密に配置した。

表一 調査段階と調査種別方法一覧表

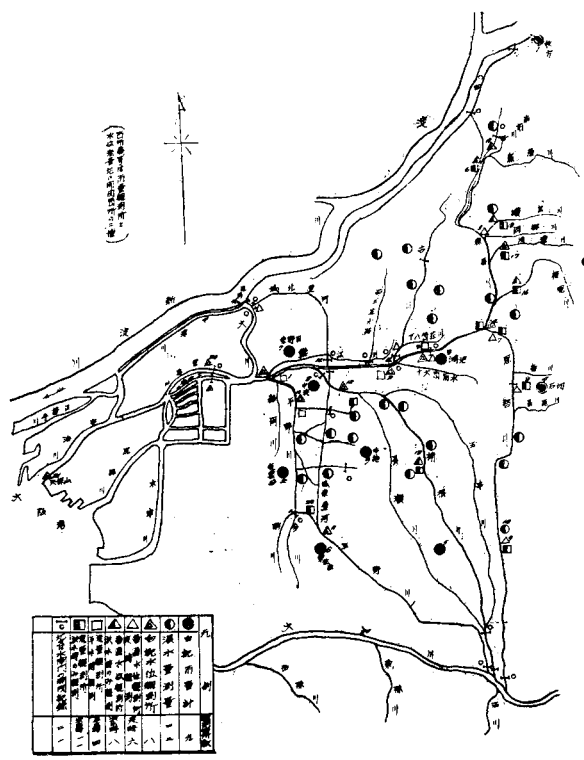
(調査目標)		(調査第三段階)			(調査第二段階)			(調査第一段階)			(調査方法)	
調査目的 治水計画の 樹立	計画水位 計画流量 計画断面 計画断面 計画断面	新断面雨量	雨量観測	雨量観測	雨量観測	雨量観測	雨量観測	雨量観測	雨量観測	雨量観測	雨量観測	雨量観測
		浸水高さ	水位観測	水位観測	水位観測	水位観測	水位観測	水位観測	水位観測	水位観測	水位観測	水位観測
		流出係数	流出係数	流出係数	流出係数	流出係数	流出係数	流出係数	流出係数	流出係数	流出係数	流出係数
感潮区域の 治水計画の 樹立	計画水位 計画流量 計画断面 計画断面 計画断面	河川断面雨量	雨量観測	雨量観測	雨量観測	雨量観測	雨量観測	雨量観測	雨量観測	雨量観測	雨量観測	雨量観測
		浸水高さ	水位観測	水位観測	水位観測	水位観測	水位観測	水位観測	水位観測	水位観測	水位観測	水位観測
		流出係数	流出係数	流出係数	流出係数	流出係数	流出係数	流出係数	流出係数	流出係数	流出係数	流出係数
感潮区域の 治水計画の 樹立	計画水位 計画流量 計画断面 計画断面 計画断面	河川断面雨量	雨量観測	雨量観測	雨量観測	雨量観測	雨量観測	雨量観測	雨量観測	雨量観測	雨量観測	雨量観測
		浸水高さ	水位観測	水位観測	水位観測	水位観測	水位観測	水位観測	水位観測	水位観測	水位観測	水位観測
		流出係数	流出係数	流出係数	流出係数	流出係数	流出係数	流出係数	流出係数	流出係数	流出係数	流出係数

- (ii) 現在の寝屋川のほかに第二寝屋川（仮称）を開削する案が一応考えられるので、これが流量配分上必要と思われる地点に多く配置した。
- (iii) 各河川ごとの流量、水位と相互の流出時差を調べるため、主要河川ごとに流量観測地点を1箇所ずつ配した。従つて各河川上流部の任意の地点ごとの流量は、上記の観測地点の資料を用いて推定することとした。
- (iv) 特に雨量観測所は、各河川流域ごとに行きわたって1箇所以上配置し、降雨量から流量の推定に便ならしめた。
- (v) 感潮区域の流れの状況を分析考察するため要所要所に自記量水標を設置した。
- (vi) 従来より浸水を生ずるおもなる浸水区域ごとに量水標を設置した。

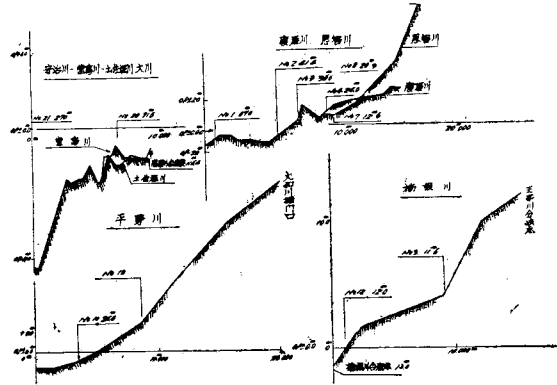
以上の方針により配置した配置図は図一のとおりである。主要河川別縦横断及び観測地点の河巾（表法肩間）を図二に示す。

調査員は大阪府を始め大阪市・布施市・寝屋川市その他水利組合等の関係者で洪水時（連続雨量 60 mm 以上の場合とした）130 名、平時 53 名に及んだ。

図一 調査観測地点配置図



図一2 主要河川別縦横断及び観測地点河中



d) 流量観測用機械器具

洪水時には下流部主要地点はブライス流速計、エックマンメルトス流速計あるいは土研式簡易流速計を、上流部支川の一部は機械整備の都合上また感潮区域外である関係上主として竿浮子を用いた。

平水時には主として電池式乱れ流速計を用いた。

2) 調査実績

調査は昭和27年度以降2箇年計画で行った。これにたいして26年度末に「寝屋川水系調査要綱」を作製し、27年度以降において次のごとく所期の目的を達することができた。

a) 昭和27年度実績

27年6月中旬までに要綱に基づいて測水機器の入手その他諸般の準備を完了し、また観測者の実地指導訓練を一通り終了したところ、たまたま6月23日、7月3日及び7月11日と相次いで異常出水に遭遇し連日徹夜で洪水観測を実施した。この観測に対する降雨は最適の条件とも称すべきものであつて、河川の通水断面・浸水状態等から推測すると、これ以上の降雨の場合はかえつて正確な資料がキャッチしにくいと思われる。11月5日には相当な降雨があつたので、これを観測し前記3回分の結果を確かめることができた。

以上のほか、適時平水時の観測を実施し表-1に示したとおり水系流域の過去及び将来にわたる各般の詳細なる実態調査を始めその他の基本調査を実施した。

かくして27年度においては、概算的に計画高水量を推算し改修計画樹立への一応の見通しをたてることができた。

b) 昭和28年度実績

28年度においては、地形測量特に contour 測量と河川測量に重点をおき、9月末日までにおおむねこの作業を終つた。洪水観測あるいは平水観測は27年度の観測の不足を補い、資料を掘り下げ、検討する目的をもつて実施した。洪水観測は7月19日、9月15日及び9月25日の3回にわたり実施した。かくして27年度において近似的に推算した浸水量の補正を始め水位・流量の再検討から改修計画へと順調に進捗した。

4. 流域の実態調査の概要

1) 河道変遷の沿革と地貌調査

a) 河道変遷と治水の沿革

寝屋川水系の過去の姿を知り将来百年の大計を樹てる資料とするため水系の河道変遷と治水の沿革を調査することとした。しかしてこの水系は昔淀川及び大和川の河道及び大阪湾の一部に相当していたと思われるので、淀川及び大和川の河道変遷と治水の沿革のうちこの流域に関連したものを主として調査した。その概要は次のとおりである。

現在の大阪市の東北部及び中河内・北河内一帯の平地は、大古は大いなる入海でこれに対して住吉辺より天王寺北方に向つて丘陵部が南北に岬形に突出していた。その後大和川と淀川とがこの岬形の突端難波江の河口附近で合流するに至り、さらに水源諸山より流出した花崗岩質の土砂が堆積し、また土地の緩慢なる隆起作用によつて下流側一帯に陸地が生成し、この地域で下流が乱流し多くの島々が生成するに至つた。その後土砂堆積の結果現在の西大阪一帯に三角洲を発達せしめたと考えられる。淀川の治水の嚆矢は仁徳朝時代(西紀1020年頃)と称せ

られる。前記の難波江の河口付近より河床の上昇を来し、淀川沿岸に洪水が氾濫し、瀾濁するに至り難波堀江（現在の大川筋）の開削あるいは茨田の築堤（淀川築堤）の大工事が起きた。その後数百年間桓武朝時代等を経て豊臣・徳川時代に至るまで多少の治水施設は施されたが大したものではなく、淀川の堤防はたびたび決壊し河内平野を洪水氾濫にゆだね、深野池その他の水溜りの池が方々にできた。徳川時代に至つてようやく幕府も治水に意を用いるようになり大和川の河身変換の議もおきたが工費関係・用地関係等から衆議一決に至らなかつた。宝文・延宝年間河道ますます激塞し沿岸の洪水による氾濫浸水がまた相次いだ。当時の河状を図-3（1624~1643年頃）に示す。かくて將軍綱吉の時代に至り治水対策が活発化し、河村瑞軒等をして淀川・大和川の下流部特に淀川河口の改修工事がつぎつぎと実施され、河状は次第に現在の様相を呈するに至つた。一方大和川の河身変換の議は淀川の改修進捗につれ再び盛んに唱えられるに至り、たび重なる災害に鑑み地元民の強い要望が実を結び、ついに宝永元年（西紀1704年）にわづか8箇月の工期で完成した。かくして現在の寝屋川水系はこの時代をもつて一期を劃したとも称すべきである。その後明治以来今日に至るまで、近代土木技術の力により淀川・大和川は着々改修され、新淀川の開削も実現し面目を一新するに至つたのである。寝屋川水系はこれら大和川のいわば内水排除の幹川水路とも称すべく、主として排水兼用水路として残され、改修も小規模な局部的なものが多く用水施設に重点をおいて実施されたのみで排水上からはかえつて隘路となつている地点もあり、寝屋川本川のごときも一部護岸が施されているが、むしろ河積を狭少ならしめている状態で寝屋川上流部及び恩智川のごときは生駒山脈に平行に走りしかも諸川ごとく寝屋川本川に合流し、寝屋川本川また通水断面不足で流量の過重負担を生じている実状である。

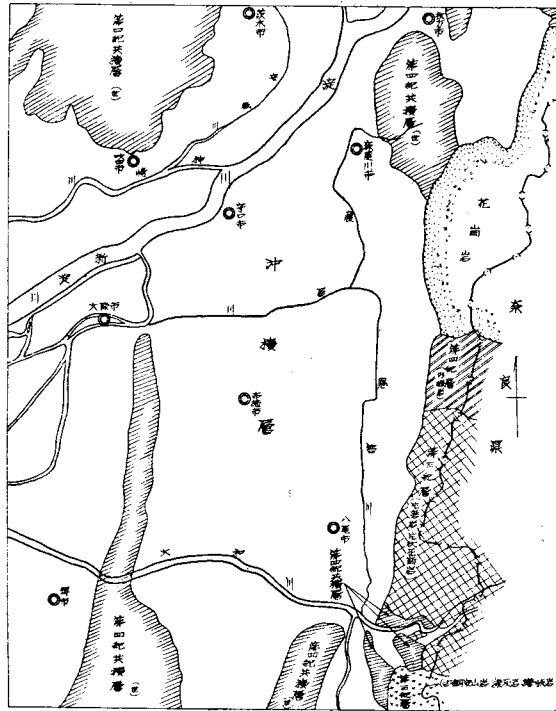
図-3 寝屋川水系古図



b) 地 貌

図-4に示すごとく、前述の河道変遷の沿革よりして平地部は当然土質的に沖積層が多く、丘陵部には洪積層が、山間部には花崗岩質よりなる第三紀層及び第四紀層が多い。山地の面積は全流域面積の約14%を占めてお

図-4 寝屋川流域地質図



り、林相は戦時中の乱伐等の影響で不良であるが、生駒山系全般の植林計画を実施中で約30年後には林相は良好となるものと予想される。

2) 生駒山系水源砂防施設状況調査

a) 生駒山系の林相及び砂防施設の状況 この詳細図は省略するが、森林面積は約2000町歩で森林植物帯上より見ると大部分は暖帯林に属するが、固有の樹種はほとんど跡を絶ち、この代りに赤松・落葉樹・潤葉樹が多く、特に四条畷町以南は林相は不良である。

森林構造は表-2のとおりである。森林行政・林業その他の詳細については省略する。

表-2 寝屋川水系森林構造表

森林面積	潤葉樹林		針葉樹林		針潤混合林		灌木		草地		竹林	
	面積	比率	面積	比率	面積	比率	面積	比率	面積	比率	面積	比率
2049.37町歩	649.35町歩	31.69%	720.13	35.14	306.32	14.96	14.12	0.69	294.42	14.37	64.83	3.18

〔註〕比率は森林面積に対する比率

表-3 生駒山系地形表(河川別による)

河川名	流域面積 (km ²)	流域長さ (km)	流域平均傾斜 (%)	流域平均幅員 (km)	流域平均水深 (m)	流域平均流速 (m/s)	流域平均流量 (m ³ /s)	流域平均降雨量 (mm)	流域平均気温 (°C)	流域平均湿度 (%)
神川	1,250	120	1.2	1.5	1.2	1.2	1.2	1,200	15.0	70.0
寝屋川	1,800	180	1.5	1.8	1.5	1.5	1,500	16.0	75.0	
大野川	2,500	250	2.0	2.5	2.0	2.0	2,500	18.0	80.0	
生駒川	3,000	300	2.5	3.0	2.5	2.5	3,000	20.0	85.0	
大川	4,000	400	3.0	4.0	3.0	3.0	4,000	25.0	90.0	
小川	5,000	500	3.5	5.0	3.5	3.5	5,000	30.0	95.0	
中川	6,000	600	4.0	6.0	4.0	4.0	6,000	35.0	98.0	
上川	7,000	700	4.5	7.0	4.5	4.5	7,000	40.0	100.0	
下川	8,000	800	5.0	8.0	5.0	5.0	8,000	45.0	100.0	
左川	9,000	900	5.5	9.0	5.5	5.5	9,000	50.0	100.0	
右川	10,000	1,000	6.0	10.0	6.0	6.0	10,000	55.0	100.0	
合計	20,000	2,000	6.5	20.0	6.5	6.5	20,000	60.0	100.0	

b) 砂防施設 明治末期より大正年間にあたり、北河内特に寝屋川上流傍示川に対し主として山腹の植林が行われ、また昭和15年生駒山上のグライダー場の崩落による災害に鑑み、音川を重点に土砂留ダム並びに護岸工が

施されているほか、中河内地区において戦後の乱伐による不慮の災害に備えるため、山津波ダムと植林が施されているが未だ充分とは云われず、後述のごとくこのたびの13号台風によつて特に北河内地区に惨憺たる災害を生来した。砂防施設は以上のごとく主として崩壊防止を目標として設置されており、それがまた不充分なるため、山間部における年間土壌浸蝕による生産土石流はほとんど全部下流の平坦部に流下堆積して年々河床の上昇を来している。

c) 生駒山系の地形 1/25 000 地形図により分類一覧表にしたものは表-3 のとおりである。

3) 資源経済状況と寝屋川航行調査

a) 資源経済状況

本流域は、いわゆる東大阪地区と称せられ、産業経済上その他あらゆる立地条件から見て府の枢要部を占め、将来の大阪市の発展はこの地域に期待せられるところが多い。現在大阪市の全工業生産額の3割がこの地域に属しており、将来ますますその比率が増大するものと考えられる。昭和26年度末現在における流域について工業統計調査規則によるF（製造業）を分類整理すると表-4のごとくなる。

表-4 寝屋川流域における製造業別工場数及び生産額（単位千円）

	金属製品	機械器具	紡績品	食糧品	化学工業品	その他	計
工場数	2 423	2 654	1 719	934	563	3 951	12 244
生産額	33 153 401	27 417 027	35 119 444	8 661 634	15 297 199	24 208 640	143 857 345

農業関係では後述のごとく連年にわたる浸水により二毛作不能地区が多い。

b) 寝屋川航行調査

寝屋川本川4箇所について昭和28年3月31日午前7時より午後6時まで調査した結果は表-5のとおりである。当日の航行船舶は最下流で上り47隻・下り39隻で吃水の最大は1.50m程度である。

表-5 寝屋川航行調査

調査地点	機帆船		汽船		国産船		民船		砂船		その他		合計	
	上	下	上	下	上	下	上	下	上	下	上	下	上	下
寝屋川橋	5	1	2	2	1	1	1	1	1	1	1	1	2	2
光町橋	4	1	1	1	1	1	1	1	1	1	1	1	2	2
龍尾橋	1	1	1	1	1	1	1	1	1	1	1	1	2	2
鴻池橋	1	1	1	1	1	1	1	1	1	1	1	1	2	2
計	11	4	5	5	4	4	4	4	4	4	4	4	10	10

4) 人口構成と土地利用区分調査

a) 土地利用と産業別人口構成 この現関係を分析して、将来の人口増加ともなる人口構成の変遷を推定してその土地利用区分を想定した。計画の目標年度は将来を推定し得る限度として20年後において、昭和25年度を基準とし、人口増加のスムーズな線を描く大正14年から昭和9年までの人口増加状態により geometric increase method で昭和45年の大阪府人口を674万人と推定した。しかして昭和45年の有業率は昭和5年頃の状況に復したもので、すなわち全人口の44%とし、第1次人口は変化しないもの、第2次・第3次人口の比率は昭和5年頃の状況に復するものとし、また昭和45年度の夜間と昼間との差すなわち大阪府外との通勤者の差は昭和25年度の絶対数と同数とみなすことを前提条件として将来の人口構成を推定して土地利用区分を見出した。

ここで土地利用の区分は次のように大別した。

- 山林：現況
 - 農耕緑地：現況
 - 農村集落：現況
 - 工場地：住宅地以外で昼間2次人口が昼間3次人口より多い土地
 - 業務地：住宅地以外で昼間3次人口が昼間2次人口より多い土地
 - 住宅地：夜間有業人口が昼間有業人口の2倍以上の土地
- また

第1次人口：第1次産業すなわち標準産業分類に示す農業・林業及び狩猟業（伐木材を含む）漁業及び水産養殖業に従事する人口を云う。

第2次人口：第2次産業すなわち建設業・製造業に従事する人口を云う。

第3次人口：第3次産業すなわち卸売及び小売業・金融保険業及び不動産業・運輸通信及びその他公益事業・サービス業・公務自由業その他分類不能の職業に従事する人口を云う

しかして土地利用計画に当つては次のような考え方で進めた。

「住宅地となり得る土地」とは

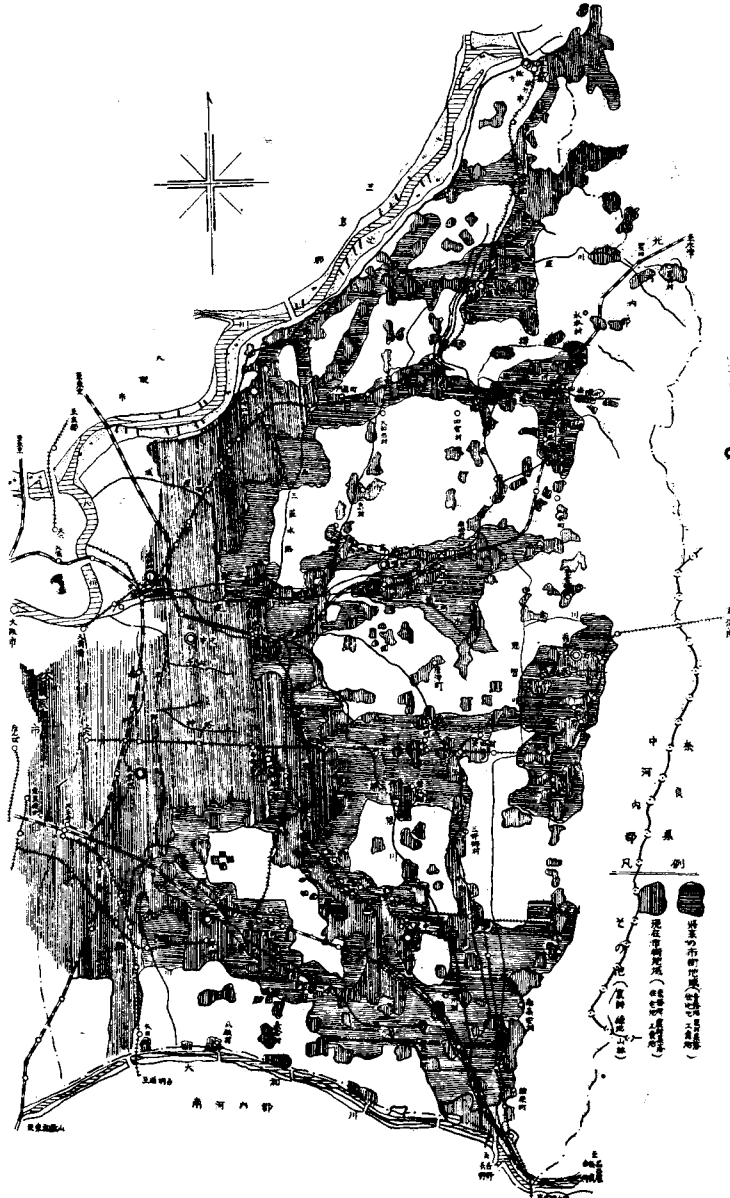
(i) 鉄道・軌道駅及び1時間に3本以上運転しているバスの停留所より1km以内の土地であつて団地面積約1ha以上の土地（鉄道・軌道駅及びバスの停留所は建設計画のあるものを含めた）。

(ii) 水道給水区域内あるいは井戸掘可能な土地。

(iii) 低湿地でないこと。

「工場となり得る土地」とは、

図-5 寝屋川水系現在及び将来土地利用区分図



5) 灌漑用排水系統調査

各種扉門開閉操作観測とあわせて用排水の系統を詳細に調査し用排水系統の区分を確認した。このうち排水系統のみを図示すると図-6のとおりである。従つて爾後の河川別の流量計算等はずばら図-6を用いることとした。

表-7 既往氾濫浸水面積調査

6) 既往の被害調査

a) 既往氾濫浸水面積

過去 10 箇年について浸水被害のおもなるもののみを推定,あるいは実測により調査したものは表-7のとおりである。

b) 昭和 27 年 7 月 12 日及び 28 年 9 月 25 日出水による被害直後各市町村につき詳細調査したものを集計すれば表-8及び表-9のとおりである。

Table with 3 columns: 年月日, 面積(㎡), 被害額(万円). Rows include dates from 27.12 to 28.10 and a total row.

表-8 昭和27年7月12日出水による被害調査

Table with 4 columns: 種類, 数量, 金額, 備考. Rows include 農地, 工場, 公共施設, その他, and 合計.

表-9 昭和28年9月25日出水による被害調査

Table with 4 columns: 種類, 数量, 金額, 備考. Rows include 農地, 工場, 公共施設, その他, and 合計.

c) 過去 10 箇年の被害額の推定

昭和 27 年 7 月 12 日出水による被害額を基準にして過去 10 箇年の被害額を推定し, 28 年 9 月 25 日出水による被害をも含めて年間平均被害額を算出すると年間平均約 14.5 億円となる。

d) 工場被害内訳

農産被害の検討については別の機会にゆづることとし, 最も被害のウエイトの大きい工場被害について記述する。流域の工場について 27 年度及び 28 年 9 月 25 日出水の被害の内訳を調査したものは表-10及び表-12のとおりである。

表-10 (東大阪) 代表的工場浸水被害調

Table with 10 columns: 所在地, 工場名, 工場敷地, 建物, 浸水延日数, 浸水日数, 最大浸水深, 休業日数, 被害額, 合計. Rows list various factories and their damage statistics.

〔備考〕 直接被害とは工場が浸水により受けた建物・機械等の被害及び製品等の被害額を示す。間接被害とは休業により減少した生産減・休業補償手当等を評価した金額を示す

表-10は被害工場のうち代表的な工場をピックアップして実地について調査したものである。これを分析すると年平均浸水延日数及び休業延日数はおおむね等しく 11 日間、直接被害は 1 日当たり平均約 3 万円である。間接被害はおおむね休業による生産減と休業補償手当を加算した値に近いことを示している。この場合休業による生産減は表-4を参照し, 休業補償手当は 1 人 1 日 400 円程度として従業員数に掛合わせた値を考えた。

そこで 1 工場 1 日当りの被害基準量としては種目別の特性を考慮して表-11のように考えた。

表-11

生産種目	直接被害		生産額		休業補償手当	
	円	円	円	円	円	円
金属製品	25 000		42 000		20 000	
機械器具	25 000		30 000		20 000	
紡績品	35 000		62 000		28 000	
食糧品	30 000		28 000		12 000	
化学工業品	40 000		82 000		12 000	
その他	20 000		18 000		8 000	

表-12は、これによつて昭和 27 年 7 月 11 日及び 28 年 9 月 25 日出水時の浸水日数を各 3 日間として各浸水工場数に対し算出したものである。

表-12 (東大阪) 製造業別工場浸水被害調査

生産種目	昭和 27 年 9 月 11 日出水						昭和 27 年 9 月 25 日出水					
	工場数	被害額 (円)			工場数	被害額 (円)						
		直接被害	生産額	休業補償		直接被害	生産額	休業補償				
金属製品	852	43,940	107,352	51,120	224,372	957	114,825	108,234	51,540	224,177		
機械器具	1045	78,325	90,630	62,700	233,175	1,657	77,275	85,130	43,620	277,925		
紡績品	614	43,470	112,260	50,236	224,540	607	43,945	113,270	51,134	202,345		
食糧品	278	24,870	23,352	11,008	58,230	280	25,200	23,520	11,008	58,840		
化学工業品	118	23,740	49,700	7,128	77,541	200	24,000	57,200	7,200	41,400		
その他	1,327	77,420	71,638	21,448	173,126	1,335	92,100	72,070	32,000	176,270		
計	4,324	373,945	457,640	213,504	1,008,941	4,310	374,945	411,444	216,636	1,013,229		

5. 雨量の資料整理と考察

1) 流域内の既往雨量分布の検討

明治以来の既往の連続雨量を流域内の三角点を形成する大阪市(管区气象台)・枚方市・八尾市の三地点について記録を調査して相関関係を検討した結果は図-7(1)~(3)のとおりで、いずれもほぼ 45° の直線を示しおおむね三者等値で分布することがわかる。次に毎時観測の雨量記録については大阪管区气象台の記録のみが古くから整備されて残存している。従つて、改修計画の対称となる雨量強度は大阪管区气象台の記録によることに決定しその記録を整理することとした。

図-7(1) 寝屋川流域連続雨量相関関係線図 (大阪市一枚方市)

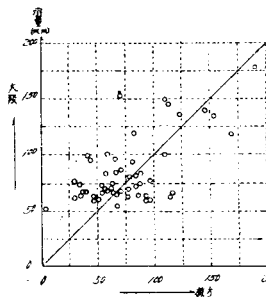


図-7(2) 同左 (大阪市一八尾市)

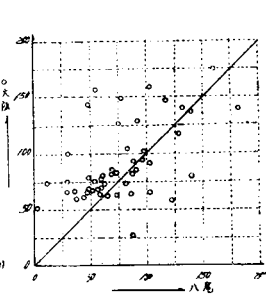
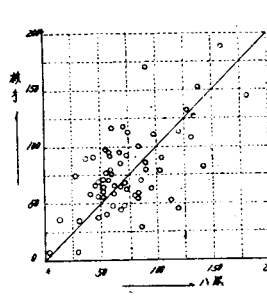


図-7(3) 同左 (枚方市一八尾市)



2) 大阪管区气象台の雨量観測記録の整理

大阪管区气象台の雨量観測記録を明治以来について詳細に調査し次のように整理した。

a) 連続雨量及び時間雨量の頻度表

連続雨量及び 1~4 時間強度について調査したものは図-8(1)~(5)及び図-9のごとくなり、連続雨量及び時間強度の両方において大なる順にならべると

- ① 明治 29 年 8 月 30 日
- ② 昭和 10 年 6 月 28 日
- ③ 昭和 28 年 9 月 25 日(台風 13 号)及び昭和 27 年 7 月 12 日(不連続線)

の順となり③の両者はほとんど大差がないことがわかつた。

図-8(1) 降雨(1時間 30mm以上)頻度曲線

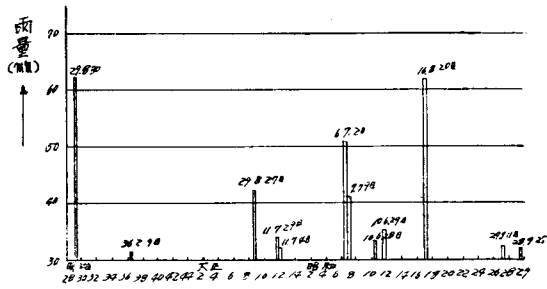


図-8(2) 降雨(2時間 50mm以上)頻度曲線

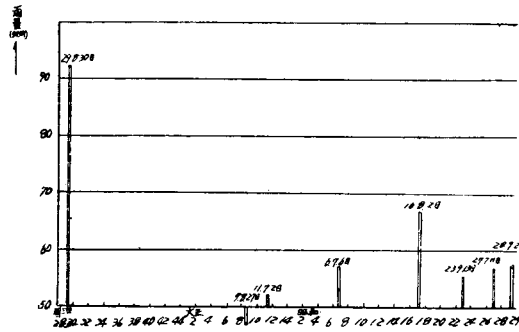


図-8(3) 降雨(3時間 60mm以上)頻度曲線

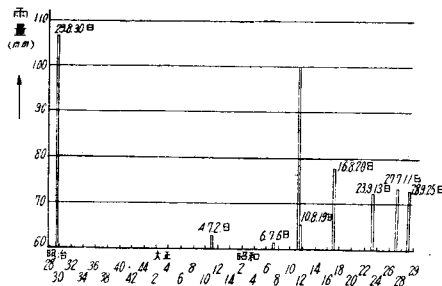


図-8(4) 降雨(4時間 75mm以上)頻度曲線

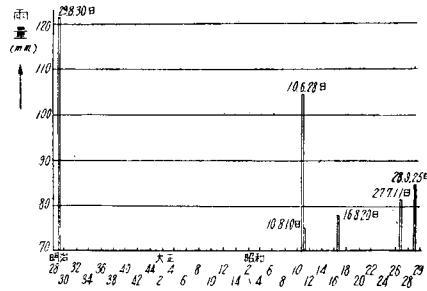


図-8(5) 降雨(連続 120mm以上)頻度曲線

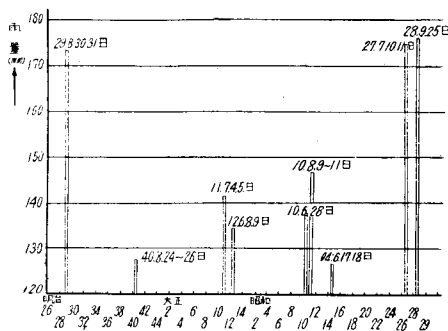
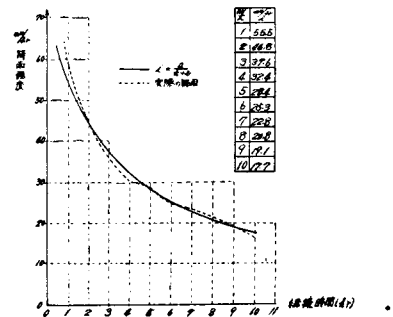


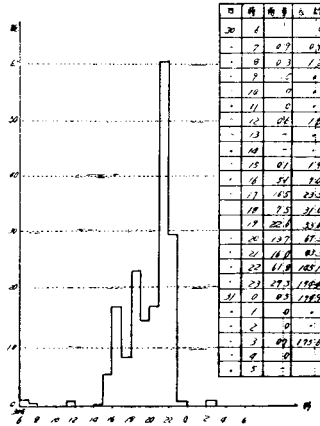
図-9 降雨継続時間-雨量強度線図
(明治29年8月30日)



b) 明治29年8月30日降雨

台風ともなる降雨でその雨量強度線図は図-10に示すとおりである。6時間雨量を対称とした場合には詳細は省略するが、確率が成り立つものとすれば計算上約60年降雨に相当することを示している。

図-10 明治 29 年 8 月 30 日雨量強度線図



3) 雨量実測資料の整理

a) 雨量分布

連続雨量の等雨線図を昭和 27 年 7 月 11 日及び 28 年 9 月 25 日について記載したものを図-11に示す。各観測地点の雨量強度線図は後述の流量計算図表に示す関係上詳細は省略する。

図-11(1) 寝屋川水系等雨線図
(昭和27年7月10日・11日総雨量)

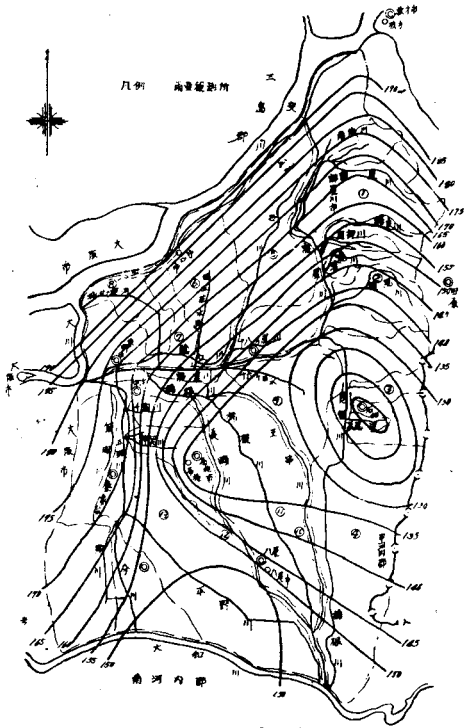
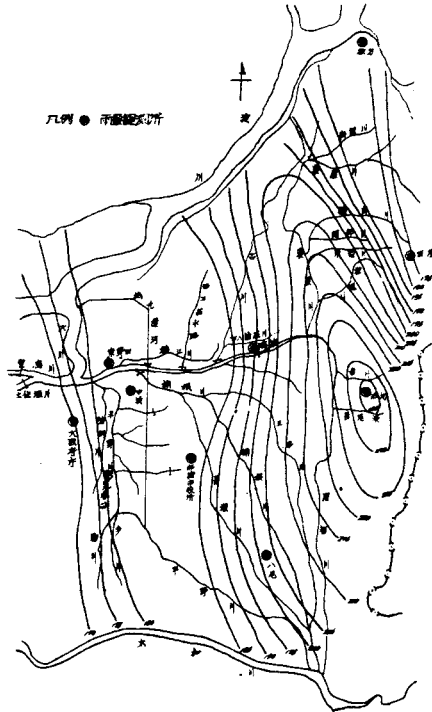


図-11(2) 寝屋川水系等雨線図
(昭和28年9月25日・台風13号総雨量)



b) 雨量強度の peak 時刻

昭和 27 年度 3 回分及び 28 年 9 月 25 日分の雨量強度の peak 時刻を調べると表-13に示すとおりで、各地点で大した時差はない。しかも前述のごとく流域内の時間雨量の既往記録が少ない関係上爾後計画雨量は全流域に同時に降るものとして取扱うこととした。

表-13 雨量強度の peak 時刻一覧表 (昭和27年度・28年度)

番号	観測地点	昭和27年6月23日	昭和27年7月2日	昭和27年7月11日	昭和28年9月25日
1	枚方	20時~21時	19時~20時	2時~3時	15時10分~16時10分
2	大阪(気象台)	20 ~ 21	20 ~ 21	3 ~ 4	14.00~15.00
3	槻池	20 ~ 21	20 ~ 21	3 ~ 4	—
4	石切	21 ~ 22	20 ~ 21	3 ~ 4	15.10~16.10
5	八尾	21 ~ 22	20 ~ 21	2 ~ 3	15.10~16.10
6	田原	—	21 ~ 22	—	16.00~17.00
7	東野田	20 ~ 21	19 ~ 21	2 ~ 3	—
8	中浜	20 ~ 21	20 ~ 21	3 ~ 4	—
9	布施	18 ~ 19	20 ~ 21	—	14.00~15.00

6. 浸水量の資料整理と考察

1) 浸水の実測資料整理

昭和27年度3回分及び28年9月25日の浸水図をそれぞれ図-12, 13, 14に示す。昭和27年7月11日には約74 km², 28年9月25日には約76 km²で全流域の約3割以上に達し、最大浸水深は1.0 m以上滞水日数は1週間以上に及んだ。

図-12 昭和27年6月23-24日の降雨による寝屋川水系浸水図

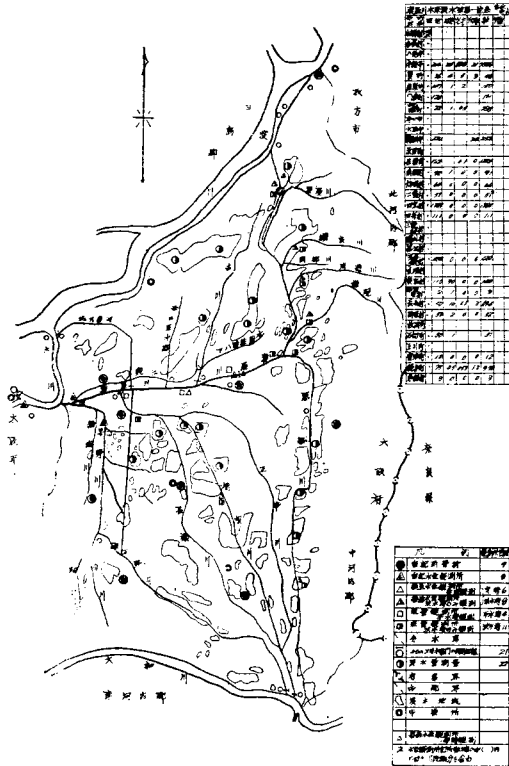


図-13 昭和27年7月2-3日の降雨による寝屋川水系浸水図

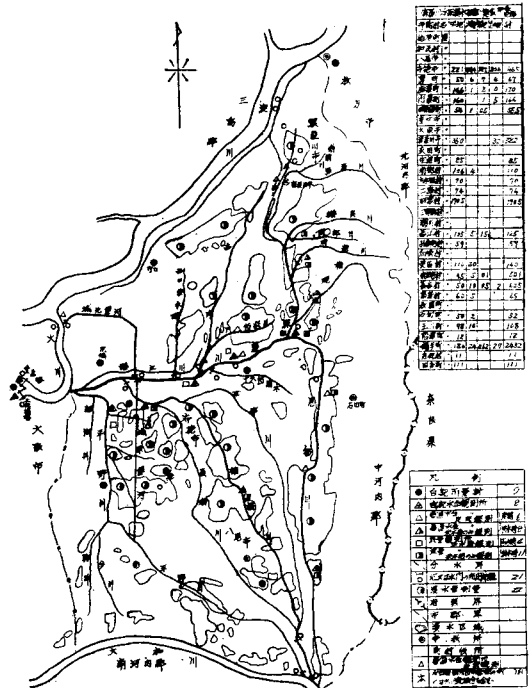


図-14(1) 昭和27年7月12日の降雨による寝屋川水系浸水図

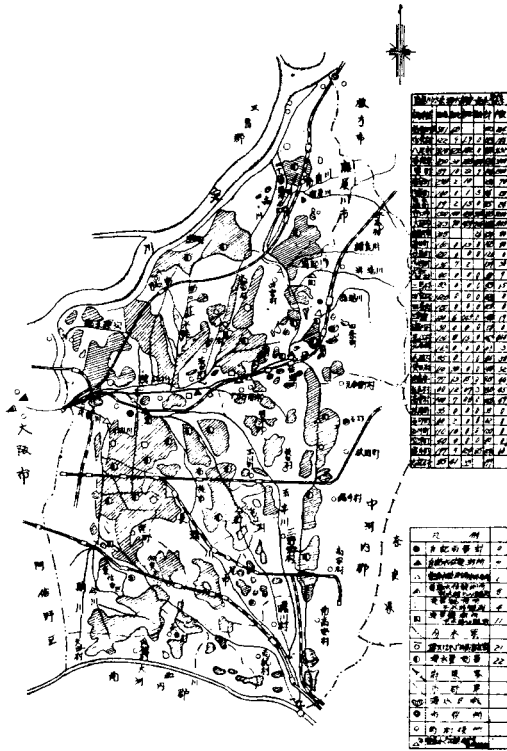
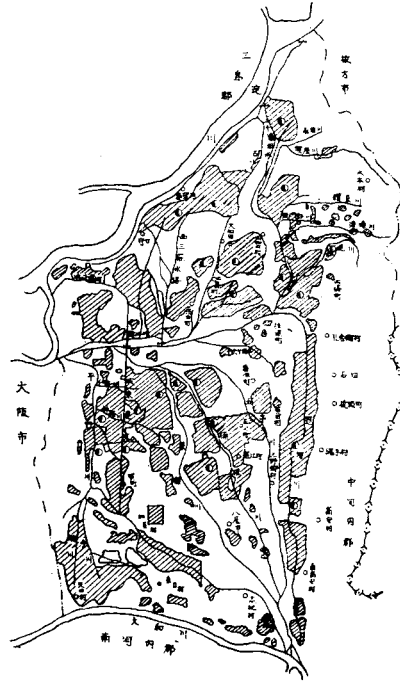


図-14(2) 昭和28年9月25日台風13号の豪雨による寝屋川水系浸水図



2) 浸水量—時間曲線の推算

a) まず昭和 27 年度 3 回分の実測に基づき浸水位—時間曲線を各観測地点ごとに求める。次に同上の各浸水区域ごとに地形を近似的に球面・扁平円錐形・あるいは放物面と仮定した上、単位時間 ($\Delta t = 1$ 時間) ごとの水位変化を ΔH とし、その Δt 時間内の平均浸水面積 A_t を算出して浸水量 $\left(\frac{\Delta H}{\Delta t} \cdot A_t\right)$ —時間 (t) 曲線を求める。

b) 次に上記のようにして求めた各浸水区域ごとの浸水量—時間曲線を各河川流域ごとに 到達時間による時差を考慮して合成し、下流側の流量観測地点の浸水量—時間曲線を求める。この場合の到達時間は浸水量が自然流下により完全排出するものとし、また改修後流下速度に多少の移動はあつても大差ないものとして、流域内の感

図-15(1) 寝屋川本川上流・浸水量—時間曲線 (No.4) (昭和27年6月23日)

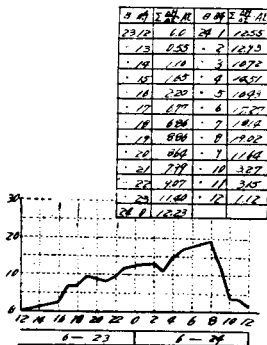


図-15(2) 恩智川・浸水量—時間曲線 (No.7) (昭和27年6月23日)

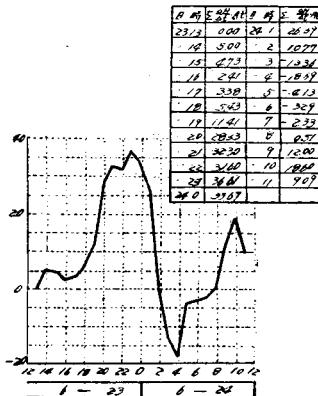


図-15(3) 平野川・浸水量一時間曲線
(No.10) (昭和27年6月23日)

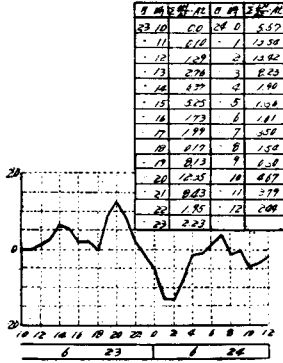


図-15(4) 寝屋川本川上流・浸水量一時間曲線
(No.4) (昭和27年7月2日)

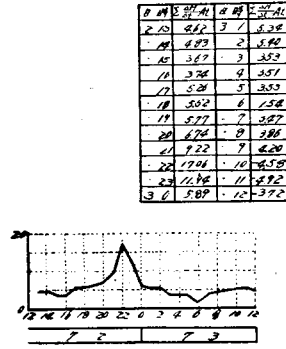


図-15(5) 恩智川・浸水量一時間曲線
(No.7) (昭和27年7月2日)

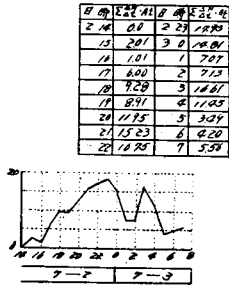


図-15(6) 楠根川(長瀬川・玉串川を含む)
浸水量一時間曲線 (No.12)
(昭和27年7月2日)

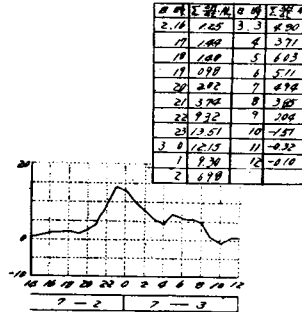


図-15(7) 平野川・浸水量一時間曲線
No.10 (昭和27年7月2日)

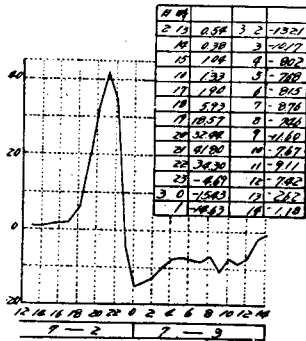


図-15(8) 寝屋川本川上流・浸水量一時間曲線
(No.4) (昭和27年7月11日)

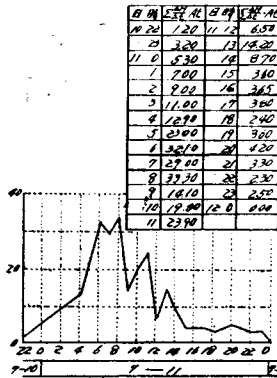


図-15(9) 恩智川・浸水量—時間曲線 (No.7) (昭和27年7月11日)

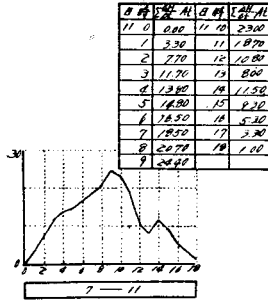
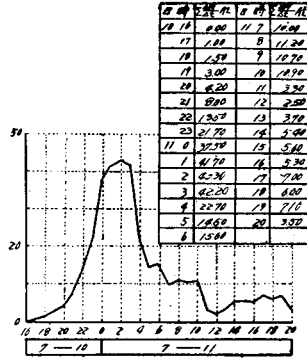
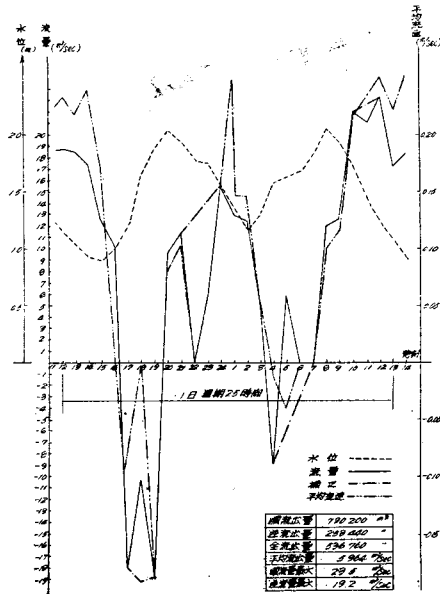


図-15(10) 楠根川・浸水量—時間曲線 (No.12) (昭和27年7月11日)



高を過ぎて落潮時に相当する次の変曲点あたりに現われ、流量の最小すなわち逆流の最大は水位の最低を過ぎて漲潮時に相当する次の変曲点あたりに現われる。順流量の最大は $23.5 \text{ m}^3/\text{sec}$ である。

図-16 寝屋川本川片町観測所 (No.1) 水位流量一時間曲線
(昭和27年8月21日平水時)



b) 垂直方向の流速分布の状況

図-17は片町 (No.1) の中央断面について特に垂直分布を示したものでその変動の状況がわかる。

c) 同上の水位一流量曲線は図-18に示すとおりで、1週期でおおむね1つの loop を画くことがわかる。

図-17 寝屋川片町 (No.1) 中央断面流速垂直分布
(昭和27年8月21日)

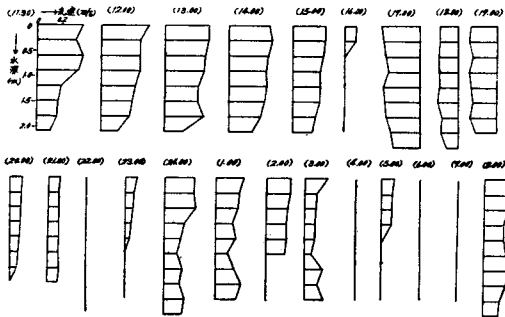
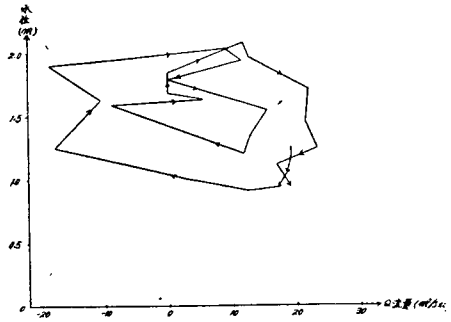


図-18 寝屋川本川片町観測所 (No.1) 水位一流量曲線 (昭和27年8月21日平水時)



d) 満干潮位の伝播 (上昇) 速度 (-ω)

天保山 (No. 21), 片町 (No. 1) 及び鴻池 (No. 3) について平水観測の水位記録を調査すると、天保山の潮位の変動によつて上流側の水位に及ぼす時間的な影響がわかる。すなわち満潮位及び干潮位に相当する H.W.L. および L.W.L. はそれぞれ天保山から片町まで約 10 km で 30 分及び 39 分、片町から鴻池まで約 7.6 km で 20 分及び 28 分の時間がかかることがわかる。H.W.L. より L.W.L. の方が遅い。

2) 洪水観測資料の整理と考察

a) 洪水曲線

昭和27年度3回分の洪水曲線をそれぞれ図-19, 20 及び 図-21 に示す。

b) 水位・流量一時間曲線

昭和27年度3回分の水位・流量一時間曲線のうち、特に感潮区域に属するものの資料若干を抜萃して示すと図-22, 23及び図-24のとおりである。

図-19 洪水曲線 (昭和27年6月23・24日)

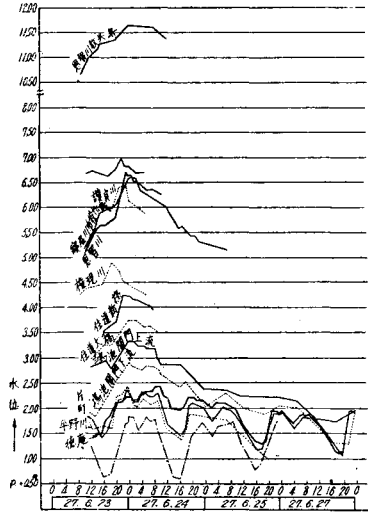


図-20 洪水曲線 (昭和27年7月2・3日)

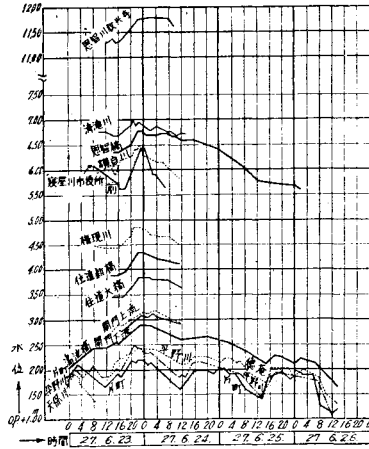


図-21 洪水曲線 (昭和27年7月10・11日)

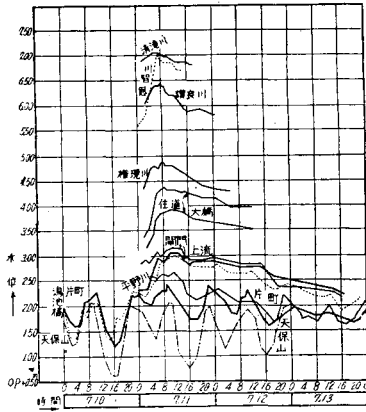


図-22(1) 大阪港・堂島川
可動堰水位一時間曲線
(No.20・21)
(昭和27年6月23・24日)

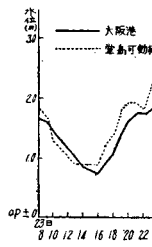


図-22(2) 寝屋川
本川徳庵観測所
(No.2)
(昭和27年6月23・24日)

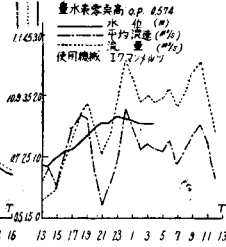


図-22(3) 寝屋川調
査事務所前観測所
(No.3) (昭和27年
6月23・24日)

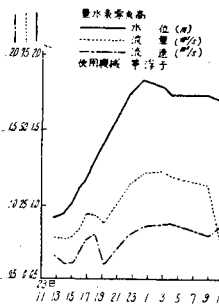


図-22(4) 住道大橋
詰観測所 (No.4)
(昭和27年6月23・
24日)

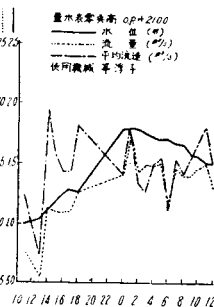


図-23(1) 堂島川可動堰水
位一時間曲線 (No.20)
(昭和27年7月2・3日)

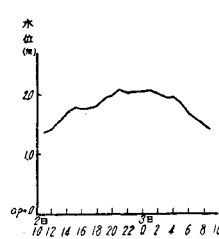


図-23(2) 片町観測所
(No.1) (昭和27年7
月2・3日)

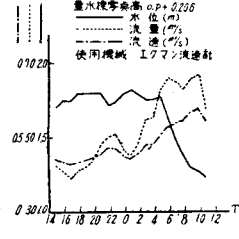


図-23(3) 徳庵観測所
(No.2)
(昭和27年7月2・3日)

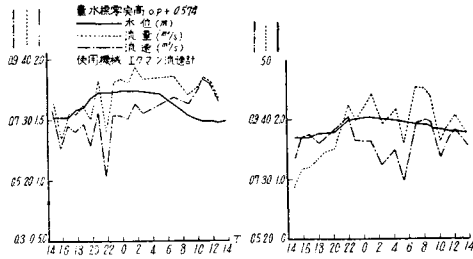


図-23(4) 寝屋川調査事務所
前観測所 (No.3)
(昭和27年7月2・3日)

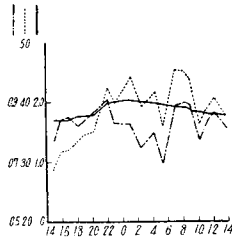


図-23(5) 寝屋川本川上流住道
大橋詰観測所 (No.4)
(昭和27年7月2・3日)

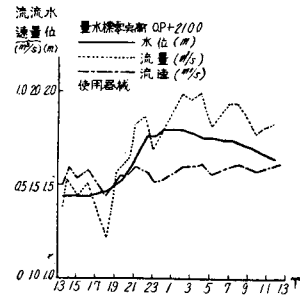


図-24(1) 大阪港・堂島川可
動堰水位一時間曲線 (No.
20・21)
(昭和27年7月11日)

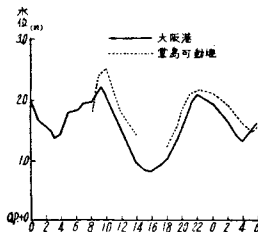


図-24(2) 片町観測所
(No.1)
(昭和27年7月11日)

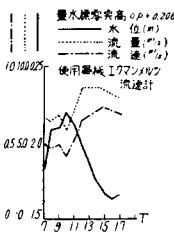
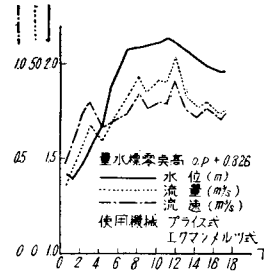


図-24(3) 寝屋川調査事務所前
観測所 (No.3)
(昭和27年7月11日)



e) 洪水時の感潮区域の流れの分析

前記の諸資料を検討して考察すると次のように考えられる。

(i) 潮汐が洪水水位に及ぼす影響範囲は少なくとも鴻池 (No.3) の上流附近までと考えられる。

(ii) 洪水時には平水時と異なり感潮区域内の流れの状況は上流よりの洪水流すなわち河川の固有流の影響が次第に支配的となることが注目される。水位は平水時の場合は満潮時に相当する場合が最高であるにもかかわらず、洪水時には満潮時と干潮時とに相当する水位差が流量の増加とともに減少する傾向がみられる。この傾向は下流側片町 (No. 1) よりも潮汐の影響が弱い上流の鴻池 (No. 3) の方が強く、上流に移るに従ってまた流量が増加するに従って満潮時よりもむしろ洪水流量の peak 時刻付近で水位が最高となるに至るものと考えられる。この場合には満干潮位の伝播速度は推定が困難となる。

(iii) 各地点の満干潮時の水位差すなわち振巾の減衰する割合は、図-25に示すとおりである。洪水時の振巾の中には、前記のとおり洪水波の振巾もいくらかの要素として入り込んで合成されたものが現われていると考えられるが、大体の傾向は推定できる。平水時の場合と比較対照すると流量が大となるほど減衰率が大となることわかる (これは後述の各地点の計画外水位決定の資料となる)。

(iv) 垂直方向の流速分布を見ると、洪水時には寝屋川筋・大川・堂島川・土佐堀川筋では逆流方向は現われることはない。安治川・木津川等の下流部の流速分布については、なお調査を要するが、計画に当つては有効流積は安治川下流部を除いてはほとんど全断面をとつて差支えないことがわかる。

(v) 詳細な数値計算については別の機会にゆづることとするが、感潮区域の流れは元来不定流で

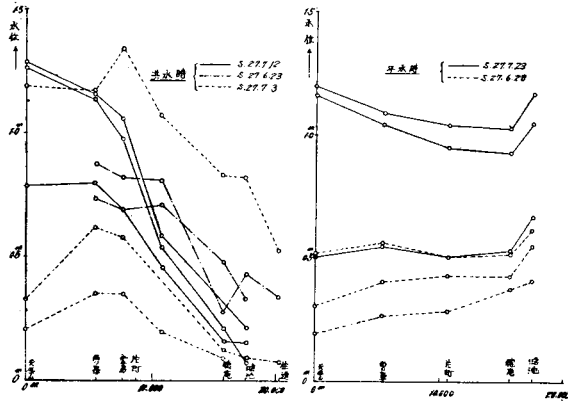
$$I = \frac{v^2}{C^2 R} + \frac{\partial}{\partial x} \left(\frac{v^2}{2g} \right) + \frac{1}{g} \cdot \frac{\partial v}{\partial t}$$

なる運動の方程式に支配されるものであるが、川内川あるいは児島湾の報告資料にみられるごとく、第3項 $\frac{1}{g} \cdot \frac{\partial v}{\partial t}$ すなわち I_w は流量の peak 付近においては無視し得る程度に小である。従つて前記 (iii), (iv) 項の資料も参照して云えることは洪水時 peak 付近においては次第に河川の固有流が潮汐の影響に打ち勝ち、上流側の水位は河口海水面の水位に対応して定流の堰上背水または低下背水に近い形をとり、上流側水位に対する影響の割合は図-25のような傾向を示す。

d) 洪水時の流下速度

昭和 28 年 7 月 19 日降雨に対して、寝屋川本川について竿浮子により鴻池 (No. 3) から片町 (No. 1) まで

図-25 大川寝屋川干満水位差減衰表



の流達時間を調査した結果は平均1時間50分であつた。このことは、さきにわれわれが考えてきた値と大差ないことがわかつた。

8. 計画高水流量の算定——外水流量と内水流量

1) 概 要

計画高水流量の算定に当つては、まづさきに地形を近似的に仮定して求めた浸水量と実測流量とを各主要河川の流量観測地点ごとに合成して続ける。その地点における推算流量時間曲線を求め、これを流出函数により一般化した上これに対して計画雨量を適応せしめてその地点の計画高水量を推算する。次に contour 測量の結果により浸水量を検討補正して前述の推算計画高水流量を補正決定する。

以上のようにして決定した主要河川ごとの、流量観測地点における計画高水流量(外水流量)と集水量(内水流量)とを試算的に既知の流量観測地点における計画高水流量に合致するごとく合成して求める。

2) 実測流量と浸水流量との合成

a) 昭和27年7月11日降雨に対して各河川の流量観測地点ごとに浸水量—時間曲線と実測流量—時間曲線とを合成する二、三の例を図-26に示す。

これは実測条件下において、昭和27年7月11日と同じ降雨量があつた場合浸水量が自然流下により完全流出する場合の推定流量—時間曲線である。

b) 流量配分図

前記の流量を前項のごとく時差を考慮して合成し、各地点・各区間の推算流量を算出したものを図-27に示す。図でわかるごとく寝屋川本川最下流部の流量は $345.9 \text{ m}^3/\text{sec}$ で現在の通水能力 $186.0 \text{ m}^3/\text{sec}$ に対してはるかにオーバーする。

図-26(1) 寝屋川住道大橋算出流量—時間曲線 (No.4) (昭和27年7月11日前後)

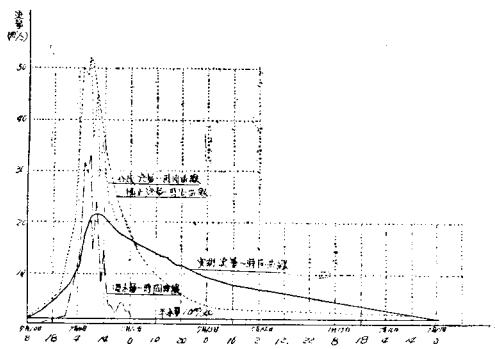


図-26(2) 恩智川住道新橋算出流量—時間曲線 (No.7) (昭和27年7月11日前後)

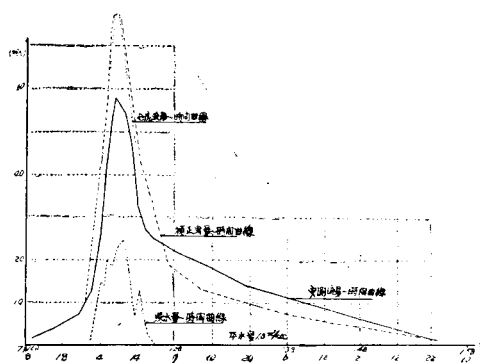


図-26(3) 楠根川(玉串川・長瀬川を含む)
算出流量一時間曲線(No.12)
(昭和27年7月11日前後)

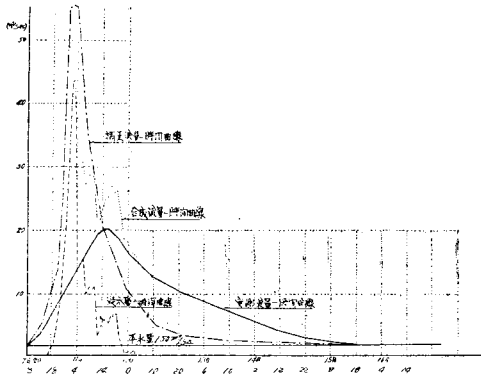
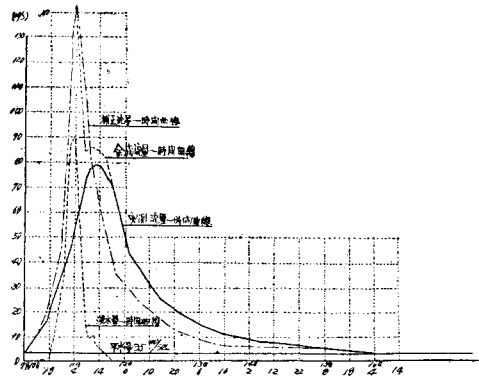


図-26(4) 平野川衙門橋算出流量一時間曲線
(No.10)
(昭和27年7月11日前後)



3) 実測条件下における各流量
観測地点の流量の一般式化

a) 降雨から河川の流出量を算出する基本式の扱い方

降雨から河川の流出量を算出する基本式としては、物部氏法を始め各種の方法が試みられ、最近においては水文学の発達とともに unit graph method, 流出函数による方法等が行われている。流量一時間曲線を推定するには物部氏法ではもちろん、unit graph のみによる場合はこの際は時間雨量をもととした unit storm による unit flow の実測例がなくまた base flow のとり方に難点があるため合理的な unit の曲線形の作成が困難である関係上、われわれは、いわゆる流出函数を用いて実測値を一般化する方法をとつた。

指数函数による方法としては種々の方式が提案されているが、基本式を

$$q = F_1(t) + F_2(t) + \dots + F_n(t) + \dots$$

なる無限級数で表わし、ここで $F(t) = q = at^n e^{-\alpha t}$ なる指数函数

とした場合 $n=1$ とした建設省土木研究所の佐藤清一氏、吉川秀夫氏及び木村俊晃氏の提案による方法を用いることとした。ここで a, α は常数、 t は任意の時刻、 q は dt なる微小時間に単位強度の降雨があつた場合 t 時刻の流出量(比流量)を表わす。この詳細については土木研究所報告第87号の2(昭和29年1月)に記載されているので省略するが、われわれは困難な感潮区域を含む本水系に初めて適応し、また土地利用計画から流出係数 f の補正を試みた。これは将来この方法が全国各地で一般化し、類似のデータが得られるに従いさらに適正を期してゆきたい考えである。

さて、前式を誘導して得た結果、いま τ 時間連続して r なる強度の雨が降つた場合、任意の時刻 t における流出量 q は $t > \tau$ においては $t - \tau = t'$ とすれば第2項までをとると

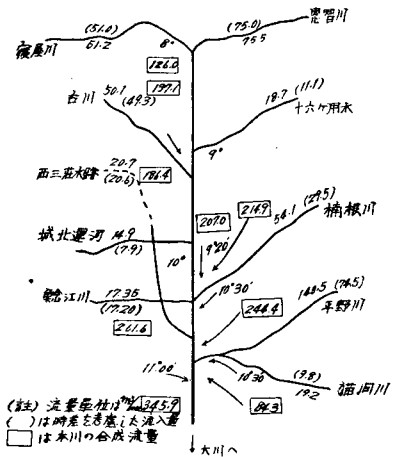
$$q = 0.2778 \cdot f \cdot r \{ [e^{-\alpha t} (\alpha t + 1) - e^{-\alpha t'} (\alpha t' + 1)] + [e^{-\alpha_0 t} (\alpha_0 t + 1) - e^{-\alpha_0 t'} (\alpha_0 t' + 1)] \} \dots (A)$$

で表わされる。ここで α は到達時間 (T) の逆数で流下速度すなわち流出の遅滞を示すもので f は流出函数である。第2項の α_0 は const. とする。{ } 内の数字はあらかじめ種々の値に対して各時刻 t ごとに求めた数値表を作成しておき計算に便ならしめる。その数値表を表-15(1)~(14)に示す。そこで α の雨量あるいは流量等に対する種々の値、すなわち変動値と f 及び α_0 とをべつべつに実測資料から試算的に各河川流域ごとに求めると、実測条件下においてはいかなる降雨量に対しても流出量が算出できる(実測値はできるだけ多い方がよい)。

b) α の変動値の推定

α は前述のごとく流出の遅滞を示すもので、流量の peak の到達時間 T との間に $T = 1/\alpha$ なる関係があり、 f とは独立に決定できるものであるが、これは流量あるいは雨量との関連性があり、それらの変動とともに α の値も変動するものと考えられる。ここでは降雨の初期からの連続降雨量と到達時間との関連性を実測資料から求

図-27 寝屋川水系実測による推算流量
(昭和27年7月11日降雨)



A式の{ }の値

すなわち $y = e^{-\alpha x}(\alpha x + 1) - e^{-\alpha(x-1)}\{\alpha(x-1) + 1\}$

表-15(1)

表-15(2)

0.01	0.02	0.03	0.04	0.05	0.06
0.07	0.08	0.09	0.10	0.11	0.12
0.13	0.14	0.15	0.16	0.17	0.18
0.19	0.20	0.21	0.22	0.23	0.24
0.25	0.26	0.27	0.28	0.29	0.30
0.31	0.32	0.33	0.34	0.35	0.36
0.37	0.38	0.39	0.40	0.41	0.42
0.43	0.44	0.45	0.46	0.47	0.48
0.49	0.50	0.51	0.52	0.53	0.54
0.55	0.56	0.57	0.58	0.59	0.60
0.61	0.62	0.63	0.64	0.65	0.66
0.67	0.68	0.69	0.70	0.71	0.72
0.73	0.74	0.75	0.76	0.77	0.78
0.79	0.80	0.81	0.82	0.83	0.84
0.85	0.86	0.87	0.88	0.89	0.90
0.91	0.92	0.93	0.94	0.95	0.96
0.97	0.98	0.99	1.00	1.01	1.02
1.03	1.04	1.05	1.06	1.07	1.08
1.09	1.10	1.11	1.12	1.13	1.14
1.15	1.16	1.17	1.18	1.19	1.20
1.21	1.22	1.23	1.24	1.25	1.26
1.27	1.28	1.29	1.30	1.31	1.32
1.33	1.34	1.35	1.36	1.37	1.38
1.39	1.40	1.41	1.42	1.43	1.44
1.45	1.46	1.47	1.48	1.49	1.50
1.51	1.52	1.53	1.54	1.55	1.56
1.57	1.58	1.59	1.60	1.61	1.62
1.63	1.64	1.65	1.66	1.67	1.68
1.69	1.70	1.71	1.72	1.73	1.74
1.75	1.76	1.77	1.78	1.79	1.80
1.81	1.82	1.83	1.84	1.85	1.86
1.87	1.88	1.89	1.90	1.91	1.92
1.93	1.94	1.95	1.96	1.97	1.98
1.99	2.00	2.01	2.02	2.03	2.04
2.05	2.06	2.07	2.08	2.09	2.10
2.11	2.12	2.13	2.14	2.15	2.16
2.17	2.18	2.19	2.20	2.21	2.22
2.23	2.24	2.25	2.26	2.27	2.28
2.29	2.30	2.31	2.32	2.33	2.34
2.35	2.36	2.37	2.38	2.39	2.40
2.41	2.42	2.43	2.44	2.45	2.46
2.47	2.48	2.49	2.50	2.51	2.52
2.53	2.54	2.55	2.56	2.57	2.58
2.59	2.60	2.61	2.62	2.63	2.64
2.65	2.66	2.67	2.68	2.69	2.70
2.71	2.72	2.73	2.74	2.75	2.76
2.77	2.78	2.79	2.80	2.81	2.82
2.83	2.84	2.85	2.86	2.87	2.88
2.89	2.90	2.91	2.92	2.93	2.94
2.95	2.96	2.97	2.98	2.99	3.00
3.01	3.02	3.03	3.04	3.05	3.06
3.07	3.08	3.09	3.10	3.11	3.12
3.13	3.14	3.15	3.16	3.17	3.18
3.19	3.20	3.21	3.22	3.23	3.24
3.25	3.26	3.27	3.28	3.29	3.30
3.31	3.32	3.33	3.34	3.35	3.36
3.37	3.38	3.39	3.40	3.41	3.42
3.43	3.44	3.45	3.46	3.47	3.48
3.49	3.50	3.51	3.52	3.53	3.54
3.55	3.56	3.57	3.58	3.59	3.60
3.61	3.62	3.63	3.64	3.65	3.66
3.67	3.68	3.69	3.70	3.71	3.72
3.73	3.74	3.75	3.76	3.77	3.78
3.79	3.80	3.81	3.82	3.83	3.84
3.85	3.86	3.87	3.88	3.89	3.90
3.91	3.92	3.93	3.94	3.95	3.96
3.97	3.98	3.99	4.00	4.01	4.02
4.03	4.04	4.05	4.06	4.07	4.08
4.09	4.10	4.11	4.12	4.13	4.14
4.15	4.16	4.17	4.18	4.19	4.20
4.21	4.22	4.23	4.24	4.25	4.26
4.27	4.28	4.29	4.30	4.31	4.32
4.33	4.34	4.35	4.36	4.37	4.38
4.39	4.40	4.41	4.42	4.43	4.44
4.45	4.46	4.47	4.48	4.49	4.50
4.51	4.52	4.53	4.54	4.55	4.56
4.57	4.58	4.59	4.60	4.61	4.62
4.63	4.64	4.65	4.66	4.67	4.68
4.69	4.70	4.71	4.72	4.73	4.74
4.75	4.76	4.77	4.78	4.79	4.80
4.81	4.82	4.83	4.84	4.85	4.86
4.87	4.88	4.89	4.90	4.91	4.92
4.93	4.94	4.95	4.96	4.97	4.98
4.99	5.00	5.01	5.02	5.03	5.04
5.05	5.06	5.07	5.08	5.09	5.10
5.11	5.12	5.13	5.14	5.15	5.16
5.17	5.18	5.19	5.20	5.21	5.22
5.23	5.24	5.25	5.26	5.27	5.28
5.29	5.30	5.31	5.32	5.33	5.34
5.35	5.36	5.37	5.38	5.39	5.40
5.41	5.42	5.43	5.44	5.45	5.46
5.47	5.48	5.49	5.50	5.51	5.52
5.53	5.54	5.55	5.56	5.57	5.58
5.59	5.60	5.61	5.62	5.63	5.64
5.65	5.66	5.67	5.68	5.69	5.70
5.71	5.72	5.73	5.74	5.75	5.76
5.77	5.78	5.79	5.80	5.81	5.82
5.83	5.84	5.85	5.86	5.87	5.88
5.89	5.90	5.91	5.92	5.93	5.94
5.95	5.96	5.97	5.98	5.99	6.00
6.01	6.02	6.03	6.04	6.05	6.06
6.07	6.08	6.09	6.10	6.11	6.12
6.13	6.14	6.15	6.16	6.17	6.18
6.19	6.20	6.21	6.22	6.23	6.24
6.25	6.26	6.27	6.28	6.29	6.30
6.31	6.32	6.33	6.34	6.35	6.36
6.37	6.38	6.39	6.40	6.41	6.42
6.43	6.44	6.45	6.46	6.47	6.48
6.49	6.50	6.51	6.52	6.53	6.54
6.55	6.56	6.57	6.58	6.59	6.60
6.61	6.62	6.63	6.64	6.65	6.66
6.67	6.68	6.69	6.70	6.71	6.72
6.73	6.74	6.75	6.76	6.77	6.78
6.79	6.80	6.81	6.82	6.83	6.84
6.85	6.86	6.87	6.88	6.89	6.90
6.91	6.92	6.93	6.94	6.95	6.96
6.97	6.98	6.99	7.00	7.01	7.02
7.03	7.04	7.05	7.06	7.07	7.08
7.09	7.10	7.11	7.12	7.13	7.14
7.15	7.16	7.17	7.18	7.19	7.20
7.21	7.22	7.23	7.24	7.25	7.26
7.27	7.28	7.29	7.30	7.31	7.32
7.33	7.34	7.35	7.36	7.37	7.38
7.39	7.40	7.41	7.42	7.43	7.44
7.45	7.46	7.47	7.48	7.49	7.50
7.51	7.52	7.53	7.54	7.55	7.56
7.57	7.58	7.59	7.60	7.61	7.62
7.63	7.64	7.65	7.66	7.67	7.68
7.69	7.70	7.71	7.72	7.73	7.74
7.75	7.76	7.77	7.78	7.79	7.80
7.81	7.82	7.83	7.84	7.85	7.86
7.87	7.88	7.89	7.90	7.91	7.92
7.93	7.94	7.95	7.96	7.97	7.98
7.99	8.00	8.01	8.02	8.03	8.04
8.05	8.06	8.07	8.08	8.09	8.10
8.11	8.12	8.13	8.14	8.15	8.16
8.17	8.18	8.19	8.20	8.21	8.22
8.23	8.24	8.25	8.26	8.27	8.28
8.29	8.30	8.31	8.32	8.33	8.34
8.35	8.36	8.37	8.38	8.39	8.40
8.41	8.42	8.43	8.44	8.45	8.46
8.47	8.48	8.49	8.50	8.51	8.52
8.53	8.54	8.55	8.56	8.57	8.58
8.59	8.60	8.61	8.62	8.63	8.64
8.65	8.66	8.67	8.68	8.69	8.70
8.71	8.72	8.73	8.74	8.75	8.76
8.77	8.78	8.79	8.80	8.81	8.82
8.83	8.84	8.85	8.86	8.87	8.88
8.89	8.90	8.91	8.92	8.93	8.94
8.95	8.96	8.97	8.98	8.99	9.00
9.01	9.02	9.03	9.04	9.05	9.06
9.07	9.08	9.09	9.10	9.11	9.12
9.13	9.14	9.15	9.16	9.17	9.18
9.19	9.20	9.21	9.22	9.23	9.24
9.25	9.26	9.27	9.28	9.29	9.30
9.31	9.32	9.33	9.34	9.35	9.36
9.37	9.38	9.39	9.40	9.41	9.42
9.43	9.44	9.45	9.46	9.47	9.48
9.49	9.50	9.51	9.52	9.53	9.54
9.55	9.56	9.57	9.58	9.59	9.60
9.61	9.62	9.63	9.64	9.65	9.66
9.67	9.68	9.69	9.70	9.71	9.72
9.73	9.74	9.75	9.76	9.77	9.78
9.79	9.80	9.81	9.82	9.83	9.84
9.85	9.86	9.87	9.88	9.89	9.90
9.91	9.92	9.93	9.94	9.95	9.96
9.97	9.98	9.99	10.00	10.01	10.02
10.03	10.04	10.05	10.06	10.07	10.08
10.09	10.10	10.11	10.12	10.13	10.14
10.15	10.16	10.17	10.18	10.19	10.20
10.21	10.22	10.23	10.24	10.25	10.26
10.27	10.28	10.29	10.30	10.31	10.32
10.33	10.34	10.35	10.36	10.37	10.38
10.39	10.40	10.41	10.42	10.43	10.44
10.45	10.46	10.47	10.48	10.49	10.50
10.51	10.52	10.53	10.54	10.55	10.56
10.57	10.58	10.59	10.60	10.61	10.62
10.63	10.64	10.65	10.66	10.67	10.68
10.69	10.70	10.71	10.72	10.73	10.74
10.75	10.76	10.77	10.78	10.79	10.80
10.81	10.82	10.83	10.84	10.85	10.86
10.87	10.88	10.89	10.90	10.91	10.92
10.93	10.94	10.95	10.96	10.97	10.98
10.99	11.00	11.01	11.02	11.03	11.04
11.05	11.06	11.07	11.08	11.09	11.10
11.11	11.12	11.13	11.14	11.15	11.16
11.17	11.18	11.19	11.20	11.21	11.22
11.23	11.24	11.25	11.26	11.27	11.28
11.29	11.30	11.31	11.32	11.33	11.34
11.35	11.36	11.37	11.38	11.39	11.40
11.41	11.42	11.43	11.44	11.45	11.46
11.47	11.48	11.49	11.50	11.51	11.52
11.53	11.54	11.55	11.56	11.57	11.58
11.59	11.60	11.61	11.62	11.63	11.64
11.65	11.66	11.67	11.68	11.69	11.70
11.71	11.72	11.73	11.74	11.75	11.76
11.77	11.78	11.79	11.80	11.81	11.82
11.83	11.84	11.85	11.86	11.87	11.88
11.89	11.90	11.91	11.92	11.93	11.94
11.95	11.96	11.97	11.98	11.99	12.00
12.01	12.02	12.03	12.04	12.05	

めることとし、降雨強度線図と推定流量線図との双方のいくつかの山と山とを対照せしめて考え、推定流量曲線のある山から T 時間以前の降雨強度の山の時刻までの連続降雨量 (降り始めから起算) R と T との相関関係、従つて α の変動値を対数方眼紙に求めたものを図-28に示す。感潮区域では信頼し得る実測点が少ないが、要は後述のごとく流量-時間曲線の実測による推定値と計算値とが合致するごとく $\alpha-R$ 線図を少しづつづらして試算的に決定すればよい。

c) f 及び α_0 の推定

- (i) まづ $f=1$ として表-16の変動値を用いて (A) 式の第 1 項を算出した曲線 Q_0 を求める。
- (ii) これにより実測による推定流量 Q との比 $f_0 = \frac{Q}{Q_0}$ を求める。
- (iii) f_0 のうちで Q の最大値附近の値をとり、 $Q_0 = Q - Q_0 f_0$ を求める。これは (A) 式の第 2 項以下に相当する。

表-15(3)

	R10	0.11	0.12	0.13	0.14	山
1	0.0000	0.0000	0.0000	0.0000	0.0000	1
2	0.0000	0.0000	0.0000	0.0000	0.0000	2
3	0.0000	0.0000	0.0000	0.0000	0.0000	3
4	0.0000	0.0000	0.0000	0.0000	0.0000	4
5	0.0000	0.0000	0.0000	0.0000	0.0000	5
6	0.0000	0.0000	0.0000	0.0000	0.0000	6
7	0.0000	0.0000	0.0000	0.0000	0.0000	7
8	0.0000	0.0000	0.0000	0.0000	0.0000	8
9	0.0000	0.0000	0.0000	0.0000	0.0000	9
10	0.0000	0.0000	0.0000	0.0000	0.0000	10
11	0.0000	0.0000	0.0000	0.0000	0.0000	11
12	0.0000	0.0000	0.0000	0.0000	0.0000	12
13	0.0000	0.0000	0.0000	0.0000	0.0000	13
14	0.0000	0.0000	0.0000	0.0000	0.0000	14
15	0.0000	0.0000	0.0000	0.0000	0.0000	15
16	0.0000	0.0000	0.0000	0.0000	0.0000	16
17	0.0000	0.0000	0.0000	0.0000	0.0000	17
18	0.0000	0.0000	0.0000	0.0000	0.0000	18
19	0.0000	0.0000	0.0000	0.0000	0.0000	19
20	0.0000	0.0000	0.0000	0.0000	0.0000	20
21	0.0000	0.0000	0.0000	0.0000	0.0000	21
22	0.0000	0.0000	0.0000	0.0000	0.0000	22
23	0.0000	0.0000	0.0000	0.0000	0.0000	23
24	0.0000	0.0000	0.0000	0.0000	0.0000	24
25	0.0000	0.0000	0.0000	0.0000	0.0000	25
26	0.0000	0.0000	0.0000	0.0000	0.0000	26
27	0.0000	0.0000	0.0000	0.0000	0.0000	27
28	0.0000	0.0000	0.0000	0.0000	0.0000	28
29	0.0000	0.0000	0.0000	0.0000	0.0000	29
30	0.0000	0.0000	0.0000	0.0000	0.0000	30
31	0.0000	0.0000	0.0000	0.0000	0.0000	31
32	0.0000	0.0000	0.0000	0.0000	0.0000	32
33	0.0000	0.0000	0.0000	0.0000	0.0000	33
34	0.0000	0.0000	0.0000	0.0000	0.0000	34
35	0.0000	0.0000	0.0000	0.0000	0.0000	35
36	0.0000	0.0000	0.0000	0.0000	0.0000	36
37	0.0000	0.0000	0.0000	0.0000	0.0000	37
38	0.0000	0.0000	0.0000	0.0000	0.0000	38
39	0.0000	0.0000	0.0000	0.0000	0.0000	39
40	0.0000	0.0000	0.0000	0.0000	0.0000	40
41	0.0000	0.0000	0.0000	0.0000	0.0000	41
42	0.0000	0.0000	0.0000	0.0000	0.0000	42
43	0.0000	0.0000	0.0000	0.0000	0.0000	43
44	0.0000	0.0000	0.0000	0.0000	0.0000	44
45	0.0000	0.0000	0.0000	0.0000	0.0000	45
46	0.0000	0.0000	0.0000	0.0000	0.0000	46
47	0.0000	0.0000	0.0000	0.0000	0.0000	47
48	0.0000	0.0000	0.0000	0.0000	0.0000	48
49	0.0000	0.0000	0.0000	0.0000	0.0000	49
50	0.0000	0.0000	0.0000	0.0000	0.0000	50
51	0.0000	0.0000	0.0000	0.0000	0.0000	51
52	0.0000	0.0000	0.0000	0.0000	0.0000	52
53	0.0000	0.0000	0.0000	0.0000	0.0000	53
54	0.0000	0.0000	0.0000	0.0000	0.0000	54
55	0.0000	0.0000	0.0000	0.0000	0.0000	55
56	0.0000	0.0000	0.0000	0.0000	0.0000	56
57	0.0000	0.0000	0.0000	0.0000	0.0000	57
58	0.0000	0.0000	0.0000	0.0000	0.0000	58
59	0.0000	0.0000	0.0000	0.0000	0.0000	59
60	0.0000	0.0000	0.0000	0.0000	0.0000	60
61	0.0000	0.0000	0.0000	0.0000	0.0000	61
62	0.0000	0.0000	0.0000	0.0000	0.0000	62
63	0.0000	0.0000	0.0000	0.0000	0.0000	63
64	0.0000	0.0000	0.0000	0.0000	0.0000	64
65	0.0000	0.0000	0.0000	0.0000	0.0000	65
66	0.0000	0.0000	0.0000	0.0000	0.0000	66
67	0.0000	0.0000	0.0000	0.0000	0.0000	67
68	0.0000	0.0000	0.0000	0.0000	0.0000	68
69	0.0000	0.0000	0.0000	0.0000	0.0000	69
70	0.0000	0.0000	0.0000	0.0000	0.0000	70
71	0.0000	0.0000	0.0000	0.0000	0.0000	71
72	0.0000	0.0000	0.0000	0.0000	0.0000	72
73	0.0000	0.0000	0.0000	0.0000	0.0000	73
74	0.0000	0.0000	0.0000	0.0000	0.0000	74
75	0.0000	0.0000	0.0000	0.0000	0.0000	75
76	0.0000	0.0000	0.0000	0.0000	0.0000	76
77	0.0000	0.0000	0.0000	0.0000	0.0000	77
78	0.0000	0.0000	0.0000	0.0000	0.0000	78
79	0.0000	0.0000	0.0000	0.0000	0.0000	79
80	0.0000	0.0000	0.0000	0.0000	0.0000	80
81	0.0000	0.0000	0.0000	0.0000	0.0000	81
82	0.0000	0.0000	0.0000	0.0000	0.0000	82
83	0.0000	0.0000	0.0000	0.0000	0.0000	83
84	0.0000	0.0000	0.0000	0.0000	0.0000	84
85	0.0000	0.0000	0.0000	0.0000	0.0000	85
86	0.0000	0.0000	0.0000	0.0000	0.0000	86
87	0.0000	0.0000	0.0000	0.0000	0.0000	87
88	0.0000	0.0000	0.0000	0.0000	0.0000	88
89	0.0000	0.0000	0.0000	0.0000	0.0000	89
90	0.0000	0.0000	0.0000	0.0000	0.0000	90
91	0.0000	0.0000	0.0000	0.0000	0.0000	91
92	0.0000	0.0000	0.0000	0.0000	0.0000	92
93	0.0000	0.0000	0.0000	0.0000	0.0000	93
94	0.0000	0.0000	0.0000	0.0000	0.0000	94
95	0.0000	0.0000	0.0000	0.0000	0.0000	95
96	0.0000	0.0000	0.0000	0.0000	0.0000	96
97	0.0000	0.0000	0.0000	0.0000	0.0000	97
98	0.0000	0.0000	0.0000	0.0000	0.0000	98
99	0.0000	0.0000	0.0000	0.0000	0.0000	99
100	0.0000	0.0000	0.0000	0.0000	0.0000	100

表-15(4)

	0.15	0.16	0.17	0.18	0.19	山
1	0.0000	0.0000	0.0000	0.0000	0.0000	1
2	0.0000	0.0000	0.0000	0.0000	0.0000	2
3	0.0000	0.0000	0.0000	0.0000	0.0000	3
4	0.0000	0.0000	0.0000	0.0000	0.0000	4
5	0.0000	0.0000	0.0000	0.0000	0.0000	5
6	0.0000	0.0000	0.0000	0.0000	0.0000	6
7	0.0000	0.0000	0.0000	0.0000	0.0000	7
8	0.0000	0.0000	0.0000	0.0000	0.0000	8
9	0.0000	0.0000	0.0000	0.0000	0.0000	9
10	0.0000	0.0000	0.0000	0.0000	0.0000	10
11	0.0000	0.0000	0.0000	0.0000	0.0000	11
12	0.0000	0.0000	0.0000	0.0000	0.0000	12
13	0.0000	0.0000	0.0000	0.0000	0.0000	13
14	0.0000	0.0000	0.0000	0.0000	0.0000	14
15	0.0000	0.0000	0.0000	0.0000	0.0000	15
16	0.0000	0.0000	0.0000	0.0000	0.0000	16
17	0.0000	0.0000	0.0000	0.0000	0.0000	17
18	0.0000	0.0000	0.0000	0.0000	0.0000	18
19	0.0000	0.0000	0.0000	0.0000	0.0000	19
20	0.0000	0.0000	0.0000	0.0000	0.0000	20
21	0.0000	0.0000	0.0000	0.0000	0.0000	21
22	0.0000	0.0000	0.0000	0.0000	0.0000	22
23	0.0000	0.0000	0.0000	0.0000	0.0000	23
24	0.0000	0.0000	0.0000	0.0000	0.0000	24
25	0.0000	0.0000	0.0000	0.0000	0.0000	25
26	0.0000	0.0000	0.0000	0.0000	0.0000	26
27	0.0000	0.0000	0.0000	0.0000	0.0000	27
28	0.0000	0.0000	0.0000	0.0000	0.0000	28
29	0.0000	0.0000	0.0000	0.0000	0.0000	29
30	0.0000	0.0000	0.0000	0.0000	0.0000	30
31	0.0000	0.0000	0.0000	0.0000	0.0000	31
32	0.0000	0.0000	0.0000	0.0000	0.0000	32
33	0.0000	0.0000	0.0000	0.0000	0.0000	33
34	0.0000	0.0000	0.0000	0.0000	0.0000	34
35	0.0000	0.0000	0.0000	0.0000	0.0000	35
36	0.0000	0.0000	0.0000	0.0000	0.0000	36
37	0.0000	0.0000	0.0000	0.0000	0.0000	37
38	0.0000	0.0000	0.0000	0.0000	0.0000	38
39	0.0000	0.0000	0.0000	0.0000	0.0000	39
40	0.0000	0.0000	0.0000	0.0000	0.0000	40
41	0.0000	0.0000	0.0000	0.0000	0.0000	41
42	0.0000	0.0000	0.0000	0.0000	0.0000	42
43	0.0000	0.0000	0.0000	0.0000	0.0000	43
44	0.0000	0.0000	0.0000	0.0000	0.0000	44
45	0.0000	0.0000	0.0000	0.0000	0.0000	45
46	0.0000	0.0000	0.0000	0.0000	0.0000	46
47	0.0000	0.0000	0.0000	0.0000	0.0000	47
48	0.0000	0.0000	0.0000	0.0000	0.0000	48
49	0.0000	0.0000	0.0000	0.0000	0.0000	49
50	0.0000	0.0000	0.0000	0.0000	0.0000	50
51	0.0000	0.0000	0.0000	0.0000	0.0000	51
52	0.0000	0.0000	0.0000	0.0000	0.0000	52
53	0.0000	0.0000	0.0000	0.0000	0.0000	53
54	0.0000	0.0000	0.0000	0.0000	0.0000	54
55	0.0000	0.0000	0.0000	0.0000	0.0000	55
56	0.0000	0.0000	0.0			

(iv) 最大降雨強度からの到達時間が Q の最大値の到達時間の約 4~5 倍となるように α_0 をとつてみて、これを const. とし $f=1$ の場合の Q_b すなわち Q_{b0} を求め、この Q_{b0} の最大値の時刻とときに求めた Q_b の最大値の時刻とがおおむね一致するように試算的に α_0 及び Q_{b0} を求める。

(v) $f_0=f_b=Q_b/Q_{b0}$ となるから $f=Q/Q_b+Q_{b0}$ を算出する。そこで最大流量附近の f の値を採用してみて、この f に対して $f(Q_0+Q_{b0})$ を書き、これがもとの Q と大体合致すれば、これが実測条件下における流量を一般化した形である。

以上の過程に従つた流量計算図表の二、三の例を 図-29 に示し、また表-16 に流量計算過程の一覧表の一例を示す。図-29 をみればわかるごとく、実測による推定流量曲線は潮汐の影響でスムーズになつていないが流出函数法によつて算出した流量曲線と類似の曲線形を示している。

表-15(7)

時刻	0.94	0.91	0.82	0.73	0.64	時刻
1	0.0000	0.0000	0.0000	0.0000	0.0000	1
2	0.0000	0.0000	0.0000	0.0000	0.0000	2
3	0.0000	0.0000	0.0000	0.0000	0.0000	3
4	0.0000	0.0000	0.0000	0.0000	0.0000	4
5	0.0000	0.0000	0.0000	0.0000	0.0000	5
6	0.0000	0.0000	0.0000	0.0000	0.0000	6
7	0.0000	0.0000	0.0000	0.0000	0.0000	7
8	0.0000	0.0000	0.0000	0.0000	0.0000	8
9	0.0000	0.0000	0.0000	0.0000	0.0000	9
10	0.0000	0.0000	0.0000	0.0000	0.0000	10
11	0.0000	0.0000	0.0000	0.0000	0.0000	11
12	0.0000	0.0000	0.0000	0.0000	0.0000	12
13	0.0000	0.0000	0.0000	0.0000	0.0000	13
14	0.0000	0.0000	0.0000	0.0000	0.0000	14
15	0.0000	0.0000	0.0000	0.0000	0.0000	15
16	0.0000	0.0000	0.0000	0.0000	0.0000	16
17	0.0000	0.0000	0.0000	0.0000	0.0000	17
18	0.0000	0.0000	0.0000	0.0000	0.0000	18
19	0.0000	0.0000	0.0000	0.0000	0.0000	19
20	0.0000	0.0000	0.0000	0.0000	0.0000	20
21	0.0000	0.0000	0.0000	0.0000	0.0000	21
22	0.0000	0.0000	0.0000	0.0000	0.0000	22
23	0.0000	0.0000	0.0000	0.0000	0.0000	23
24	0.0000	0.0000	0.0000	0.0000	0.0000	24
25	0.0000	0.0000	0.0000	0.0000	0.0000	25
26	0.0000	0.0000	0.0000	0.0000	0.0000	26
27	0.0000	0.0000	0.0000	0.0000	0.0000	27
28	0.0000	0.0000	0.0000	0.0000	0.0000	28
29	0.0000	0.0000	0.0000	0.0000	0.0000	29
30	0.0000	0.0000	0.0000	0.0000	0.0000	30
31	0.0000	0.0000	0.0000	0.0000	0.0000	31
32	0.0000	0.0000	0.0000	0.0000	0.0000	32
33	0.0000	0.0000	0.0000	0.0000	0.0000	33
34	0.0000	0.0000	0.0000	0.0000	0.0000	34
35	0.0000	0.0000	0.0000	0.0000	0.0000	35
36	0.0000	0.0000	0.0000	0.0000	0.0000	36
37	0.0000	0.0000	0.0000	0.0000	0.0000	37
38	0.0000	0.0000	0.0000	0.0000	0.0000	38
39	0.0000	0.0000	0.0000	0.0000	0.0000	39
40	0.0000	0.0000	0.0000	0.0000	0.0000	40
41	0.0000	0.0000	0.0000	0.0000	0.0000	41
42	0.0000	0.0000	0.0000	0.0000	0.0000	42
43	0.0000	0.0000	0.0000	0.0000	0.0000	43
44	0.0000	0.0000	0.0000	0.0000	0.0000	44
45	0.0000	0.0000	0.0000	0.0000	0.0000	45
46	0.0000	0.0000	0.0000	0.0000	0.0000	46
47	0.0000	0.0000	0.0000	0.0000	0.0000	47
48	0.0000	0.0000	0.0000	0.0000	0.0000	48
49	0.0000	0.0000	0.0000	0.0000	0.0000	49
50	0.0000	0.0000	0.0000	0.0000	0.0000	50
51	0.0000	0.0000	0.0000	0.0000	0.0000	51
52	0.0000	0.0000	0.0000	0.0000	0.0000	52
53	0.0000	0.0000	0.0000	0.0000	0.0000	53
54	0.0000	0.0000	0.0000	0.0000	0.0000	54
55	0.0000	0.0000	0.0000	0.0000	0.0000	55
56	0.0000	0.0000	0.0000	0.0000	0.0000	56
57	0.0000	0.0000	0.0000	0.0000	0.0000	57
58	0.0000	0.0000	0.0000	0.0000	0.0000	58
59	0.0000	0.0000	0.0000	0.0000	0.0000	59
60	0.0000	0.0000	0.0000	0.0000	0.0000	60
61	0.0000	0.0000	0.0000	0.0000	0.0000	61
62	0.0000	0.0000	0.0000	0.0000	0.0000	62
63	0.0000	0.0000	0.0000	0.0000	0.0000	63
64	0.0000	0.0000	0.0000	0.0000	0.0000	64
65	0.0000	0.0000	0.0000	0.0000	0.0000	65
66	0.0000	0.0000	0.0000	0.0000	0.0000	66
67	0.0000	0.0000	0.0000	0.0000	0.0000	67
68	0.0000	0.0000	0.0000	0.0000	0.0000	68
69	0.0000	0.0000	0.0000	0.0000	0.0000	69
70	0.0000	0.0000	0.0000	0.0000	0.0000	70
71	0.0000	0.0000	0.0000	0.0000	0.0000	71
72	0.0000	0.0000	0.0000	0.0000	0.0000	72
73	0.0000	0.0000	0.0000	0.0000	0.0000	73
74	0.0000	0.0000	0.0000	0.0000	0.0000	74
75	0.0000	0.0000	0.0000	0.0000	0.0000	75
76	0.0000	0.0000	0.0000	0.0000	0.0000	76
77	0.0000	0.0000	0.0000	0.0000	0.0000	77
78	0.0000	0.0000	0.0000	0.0000	0.0000	78
79	0.0000	0.0000	0.0000	0.0000	0.0000	79
80	0.0000	0.0000	0.0000	0.0000	0.0000	80
81	0.0000	0.0000	0.0000	0.0000	0.0000	81
82	0.0000	0.0000	0.0000	0.0000	0.0000	82
83	0.0000	0.0000	0.0000	0.0000	0.0000	83
84	0.0000	0.0000	0.0000	0.0000	0.0000	84
85	0.0000	0.0000	0.0000	0.0000	0.0000	85
86	0.0000	0.0000	0.0000	0.0000	0.0000	86
87	0.0000	0.0000	0.0000	0.0000	0.0000	87
88	0.0000	0.0000	0.0000	0.0000	0.0000	88
89	0.0000	0.0000	0.0000	0.0000	0.0000	89
90	0.0000	0.0000	0.0000	0.0000	0.0000	90
91	0.0000	0.0000	0.0000	0.0000	0.0000	91
92	0.0000	0.0000	0.0000	0.0000	0.0000	92
93	0.0000	0.0000	0.0000	0.0000	0.0000	93
94	0.0000	0.0000	0.0000	0.0000	0.0000	94
95	0.0000	0.0000	0.0000	0.0000	0.0000	95
96	0.0000	0.0000	0.0000	0.0000	0.0000	96
97	0.0000	0.0000	0.0000	0.0000	0.0000	97
98	0.0000	0.0000	0.0000	0.0000	0.0000	98
99	0.0000	0.0000	0.0000	0.0000	0.0000	99
100	0.0000	0.0000	0.0000	0.0000	0.0000	100

表-15(8)

時刻	0.85	0.86	0.87	0.88	0.89	時刻
1	0.0000	0.0000	0.0000	0.0000	0.0000	1
2	0.0000	0.0000	0.0000	0.0000	0.0000	2
3	0.0000	0.0000	0.0000	0.0000	0.0000	3
4	0.0000	0.0000	0.0000	0.0000	0.0000	4
5	0.0000	0.0000	0.0000	0.0000	0.0000	5
6	0.0000	0.0000	0.0000	0.0000	0.0000	6
7	0.0000	0.0000	0.0000	0.0000	0.0000	7
8	0.0000	0.0000	0.0000	0.0000	0.0000	8
9	0.0000	0.0000	0.0000	0.0000	0.0000	9
10	0.0000	0.0000	0.0000	0.0000	0.0000	10
11	0.0000	0.0000	0.0000	0.0000	0.0000	11
12	0.0000	0.0000	0.0000	0.0000	0.0000	12
13	0.0000	0.0000	0.0000	0.0000	0.0000	13
14	0.0000	0.0000	0.0000	0.0000	0.0000	14
15	0.0000	0.0000	0.0000	0.0000	0.0000	15
16	0.0000	0.0000	0.0000	0.0000	0.0000	16
17	0.0000	0.0000	0.0000	0.0000	0.0000	17
18	0.0000	0.0000	0.0000	0.0000	0.0000	18
19	0.0000	0.0000	0.0000	0.0000	0.0000	19
20	0.0000	0.0000	0.0000	0.0000	0.0000	20
21	0.0000	0.0000	0.0000	0.0000	0.0000	21
22	0.0000	0.0000	0.0000	0.0000	0.0000	22
23	0.0000	0.0000	0.0000	0.0000	0.0000	23
24	0.0000	0.0000	0.0000	0.0000	0.0000	24
25	0.0000	0.0000	0.0000	0.0000	0.0000	25
26	0.0000	0.0000	0.0000	0.0000	0.0000	26
27	0.0000	0.0000	0.0000	0.0000	0.0000	27
28	0.0000	0.0000	0.0000	0.0000	0.0000	28
29	0.0000	0.0000	0.0000	0.0000	0.0000	29
30	0.0000	0.0000	0.0000	0.0000	0.0000	30
31	0.0000	0.0000	0.0000	0.0000	0.0000	31
32	0.0000	0.0000	0.0000	0.0000	0.0000	32
33	0.0000	0.0000	0.0000	0.0000	0.0000	33
34	0.0000	0.0000	0.0000	0.0000	0.0000	34
35	0.0000	0.0000	0.0000	0.0000	0.0000	35
36	0.0000	0.0000	0.0000	0.0000	0.0000	36
37	0.0000	0.0000	0.0000	0.0000	0.0000	37
38	0.0000	0.0000	0.0000	0.0000	0.0000	38
39	0.0000	0.0000	0.0000	0.0000	0.0000	39
40	0.0000	0.0000	0.0000	0.0000	0.0000	40
41	0.0000	0.0000	0.0000	0.0000	0.0000	41
42	0.0000	0.0000	0.0000	0.0000	0.0000	42
43	0.0000	0.0000	0.0000	0.0000	0.0000	43
44	0.0000	0.0000	0.0000	0.0000	0.0000	44
45	0.0000	0.0000	0.0000	0.0000	0.0000	45
46	0.0000	0.0000	0.0000	0.0000	0.0000	46
47	0.0000	0.0000	0.0000	0.0000	0.0000	47
48	0.0000	0.0000	0.0000	0.0000	0.0000	48
49	0.0000	0.0000	0.0000	0.0000	0.0000	49
50	0.0000	0.0000	0.0000	0.0000	0.0000	50
51	0.0000	0.0000	0.0000	0.0000	0.0000	51
52	0.0000	0.0000	0.0000	0.0000	0.0000	52
53	0.0000	0.0000	0.0000	0.0000	0.0000	53
54	0.0000	0.0000	0.0000	0.0000	0.0000	54
55	0.0000	0.0000	0.0000	0.0000	0.0000	55
56	0.0000	0.0000	0.0000	0.0000	0.0000	56

表一16(2) 平野川流量計算表 第2項 (昭和27年7月11日降雨)

Table with 17 columns (days 1-17) and multiple rows of numerical data representing flow calculations for various points.

4) 各流量観測地点の計画高水流量(外水)の推算

a) 流出係数の補正

土地利用計画及び林相並びに砂防施設等の現況及び将来計画等を考慮して流出係数 f を表一17のごとく補正する。

表一17 流出係数補正表

Table with 2 columns: 流域別 (Basin) and 補正係数 (Correction Coefficient). Rows include 鹿野川上流部, 恩智川, 平野川, 筑波運河, 柿根川, 立川, 両三筋用水路, 筑波江川, 筑波運河, 及び極岡川, 16ヶ用水路.

表一19 寝屋川水系各河川流量一覧表 (明治29年8月30日降雨)

Large table with 12 columns (River Name, 鹿野川, 恩智川, 平野川, 立川, 筑波運河, 極岡川, 両三筋用水路, 筑波江川, 筑波運河, 及び極岡川, 16ヶ用水路) and multiple rows of flow data.

b) 明治29年8月30日降雨を対称とした推定流量

計画雨量の採り方については確率統計論から経済的に求める方法もあり、一応これらについても別途に検討を加えてみたことは前述のとおりであるが(詳細は別の機会にゆづる)、ここでは既往の最大たる明治29年8月30日降雨を対称とすることとした。

明治29年8月30日降雨に対して流出函数により、現在河川に沿った改修を実施したと仮定し降雨がそのまま自然流下により河道に流出するものとして各河川の推定流量曲線を表一18の例に示すごとく算出した。これを図一30及び表一19に示す。

表-10 平野川計画高水量計算表 (明治29年8月30日降雨)

日	1	2	3	4	5	6	7	8	9	10	11	12	13	14	15	16	17	18	19	20	21	22
1	0.00	0.00	0.00	0.00	0.00	0.00	0.00	0.00	0.00	0.00	0.00	0.00	0.00	0.00	0.00	0.00	0.00	0.00	0.00	0.00	0.00	0.00
2	0.00	0.00	0.00	0.00	0.00	0.00	0.00	0.00	0.00	0.00	0.00	0.00	0.00	0.00	0.00	0.00	0.00	0.00	0.00	0.00	0.00	0.00
3	0.00	0.00	0.00	0.00	0.00	0.00	0.00	0.00	0.00	0.00	0.00	0.00	0.00	0.00	0.00	0.00	0.00	0.00	0.00	0.00	0.00	0.00
4	0.00	0.00	0.00	0.00	0.00	0.00	0.00	0.00	0.00	0.00	0.00	0.00	0.00	0.00	0.00	0.00	0.00	0.00	0.00	0.00	0.00	0.00
5	0.00	0.00	0.00	0.00	0.00	0.00	0.00	0.00	0.00	0.00	0.00	0.00	0.00	0.00	0.00	0.00	0.00	0.00	0.00	0.00	0.00	0.00
6	0.00	0.00	0.00	0.00	0.00	0.00	0.00	0.00	0.00	0.00	0.00	0.00	0.00	0.00	0.00	0.00	0.00	0.00	0.00	0.00	0.00	0.00
7	0.00	0.00	0.00	0.00	0.00	0.00	0.00	0.00	0.00	0.00	0.00	0.00	0.00	0.00	0.00	0.00	0.00	0.00	0.00	0.00	0.00	0.00
8	0.00	0.00	0.00	0.00	0.00	0.00	0.00	0.00	0.00	0.00	0.00	0.00	0.00	0.00	0.00	0.00	0.00	0.00	0.00	0.00	0.00	0.00
9	0.00	0.00	0.00	0.00	0.00	0.00	0.00	0.00	0.00	0.00	0.00	0.00	0.00	0.00	0.00	0.00	0.00	0.00	0.00	0.00	0.00	0.00
10	0.00	0.00	0.00	0.00	0.00	0.00	0.00	0.00	0.00	0.00	0.00	0.00	0.00	0.00	0.00	0.00	0.00	0.00	0.00	0.00	0.00	0.00
11	0.00	0.00	0.00	0.00	0.00	0.00	0.00	0.00	0.00	0.00	0.00	0.00	0.00	0.00	0.00	0.00	0.00	0.00	0.00	0.00	0.00	0.00
12	0.00	0.00	0.00	0.00	0.00	0.00	0.00	0.00	0.00	0.00	0.00	0.00	0.00	0.00	0.00	0.00	0.00	0.00	0.00	0.00	0.00	0.00
13	0.00	0.00	0.00	0.00	0.00	0.00	0.00	0.00	0.00	0.00	0.00	0.00	0.00	0.00	0.00	0.00	0.00	0.00	0.00	0.00	0.00	0.00
14	0.00	0.00	0.00	0.00	0.00	0.00	0.00	0.00	0.00	0.00	0.00	0.00	0.00	0.00	0.00	0.00	0.00	0.00	0.00	0.00	0.00	0.00
15	0.00	0.00	0.00	0.00	0.00	0.00	0.00	0.00	0.00	0.00	0.00	0.00	0.00	0.00	0.00	0.00	0.00	0.00	0.00	0.00	0.00	0.00
16	0.00	0.00	0.00	0.00	0.00	0.00	0.00	0.00	0.00	0.00	0.00	0.00	0.00	0.00	0.00	0.00	0.00	0.00	0.00	0.00	0.00	0.00
17	0.00	0.00	0.00	0.00	0.00	0.00	0.00	0.00	0.00	0.00	0.00	0.00	0.00	0.00	0.00	0.00	0.00	0.00	0.00	0.00	0.00	0.00
18	0.00	0.00	0.00	0.00	0.00	0.00	0.00	0.00	0.00	0.00	0.00	0.00	0.00	0.00	0.00	0.00	0.00	0.00	0.00	0.00	0.00	0.00
19	0.00	0.00	0.00	0.00	0.00	0.00	0.00	0.00	0.00	0.00	0.00	0.00	0.00	0.00	0.00	0.00	0.00	0.00	0.00	0.00	0.00	0.00
20	0.00	0.00	0.00	0.00	0.00	0.00	0.00	0.00	0.00	0.00	0.00	0.00	0.00	0.00	0.00	0.00	0.00	0.00	0.00	0.00	0.00	0.00
21	0.00	0.00	0.00	0.00	0.00	0.00	0.00	0.00	0.00	0.00	0.00	0.00	0.00	0.00	0.00	0.00	0.00	0.00	0.00	0.00	0.00	0.00
22	0.00	0.00	0.00	0.00	0.00	0.00	0.00	0.00	0.00	0.00	0.00	0.00	0.00	0.00	0.00	0.00	0.00	0.00	0.00	0.00	0.00	0.00
計	0.00	0.00	0.00	0.00	0.00	0.00	0.00	0.00	0.00	0.00	0.00	0.00	0.00	0.00	0.00	0.00	0.00	0.00	0.00	0.00	0.00	0.00

【備考】このようにして算出したQの値を平野川下流部及び城東運河の流域面積比率で按分した値を図-30(13)及び図-30(14)に示してある。

表-20 寝屋川水系流量合成計算表(明治29年8月30日降雨)

Table with multiple columns and rows containing numerical data for flow synthesis calculations. The table lists various river segments and their corresponding flow values.

図-30(1) 寝屋川本川上流推定流量(No.4) (明治29年8月30日降雨)

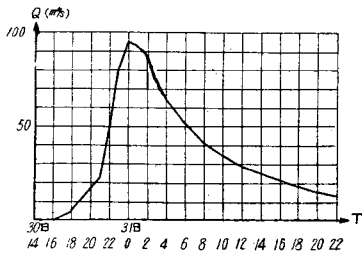


図-30(2) 恩智川下流推定流量(No.7) (明治29年8月30日降雨)

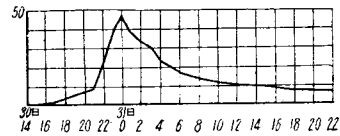


図-30(3) 十六箇用水推定流量 (明治29年8月30日降雨)

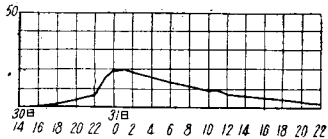


図-30(4) 古川推定流量(No.15) (明治29年8月30日降雨)

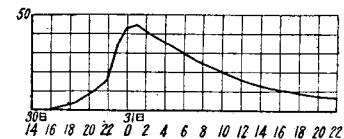


図-30(5) 西三荘水路推定流量(No.14) (明治29年8月30日降雨)

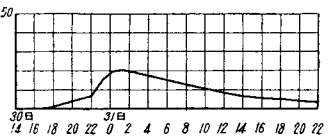


図-30(6) 城北運河推定流量 (明治29年8月30日降雨)

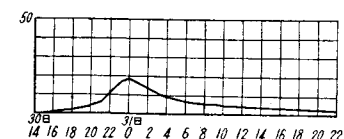


図-30(7) 鯉江川推定流量(城北運河に
分流しない場合最下流)
(明治29年8月30日降雨)

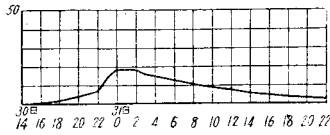


図-30(8) 恩智川上流推定流量(第二
寝屋川分流点)
(明治29年8月30日降雨)

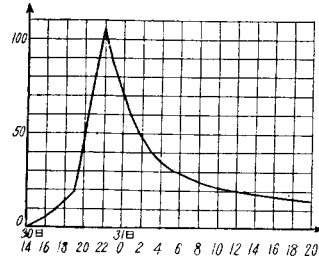


図-30(9) 玉虫川下流端推定流量
(明治29年8月30日降雨)

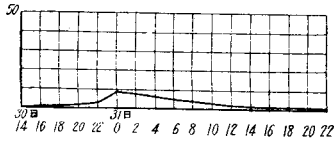


図-30(10) 楠根川推定流量(No.12)
(明治29年8月30日降雨)

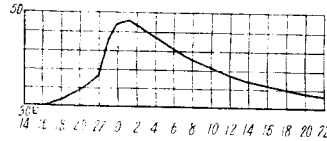


図-30(11) 長瀬川下流端推定流量
(明治29年8月30日降雨)

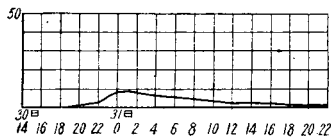


図-30(12) 城東運河推定流量(第二寝屋川合流点)
(明治29年8月30日降雨)

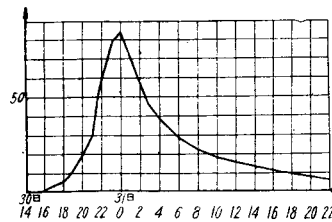


図-30(13) 平野川推定流量
(第二寝屋川合
流点)
(明治29年8月30日降雨)

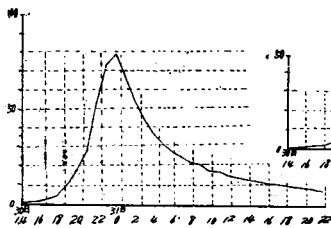
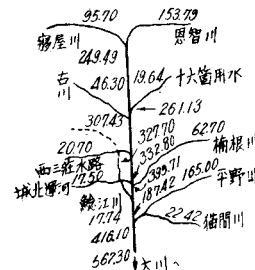


図-30(14) 猫間川下流端推定
流量
(明治29年8月30日降雨)



図-31 明治29年8月降雨の
場合の高水量一覽図



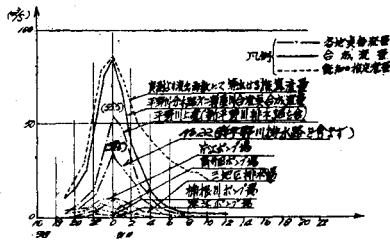
しかして各地点区間の最大推定流量を時差を考慮して表-20 のようにして計算して求め、これを図示したものを図-31に示す。

5) 等高線実測結果による浸水量、従つて計画流量の検算補正

a) 寝屋川上流部・恩智川・楠根川筋

この三川筋については、contour 実測による浸水量-時間曲線を各浸水ブロックごとに求めたもの(図表省略)は近似的仮定による推算値と多少差があるが、それぞれ下流部の流量観測地点について合成した値は図-32に示すごとく流量の peak 附近においては仮定のものほとんど一致している。

図-35 平野川分水路流量合成
(明治29年8月30日降雨)



すなわち、昭和 27 年 7 月 11 日出水に対する実測資料に contour 実測による資料を加味して流出函数により推定流量を算出した。古川は流量観測を実施していないから実測流量は実測水位から逆算した値を用いた。流出函数に用いる α の変動値については資料が乏しい関係上 $\alpha = \text{const.} = 1/4 = 0.25$ とした。

contour 実測結果を用いた流出函数による流量計算図表は図-37(1)に示す。ここで $\alpha = 0.25$, $\alpha_0 = 1/9 = 0.11$, 流出係数は peak 附近をとり 0.355 となる。そこで明治 29 年 8 月 30 日降雨に対して流量-時間曲線を算出したものは、図-37(2)のごとく仮定の流量に比較して peak 附近で $58.70 \text{ m}^3/\text{sec} - 46.30 \text{ m}^3/\text{sec} = 12.40 \text{ m}^3/\text{sec}$ 大となる。しかし、この流域は将来おおむね農地として残る見込みであるから、この程度の一時的な滞水は差支えないのでこれを控除し計画流量として $46.30 \text{ m}^3/\text{sec}$ をとることとした。

d) 結局、浸水量と実測流量との合成による推算流量と contour 実測による流量とは大差ないため、流出函数による推定流量としてはさきに算出した推算流量-時間曲線を採用して何ら差支えなく、古川についてはその流域が将来おおむね農地として残るものとして計画流量を考えることとした。

e) 昭和 28 年 7 月 19 日出水時の実測記録による流出函数の検算

平野川の例をとって検算する。

(i) 平野川下流部 (No. 10) における昭和 27 年度の 3 回分の実測により算出した既知の推算流量曲線を基準として、明治 29 年 8 月 30 日降雨に対する上流各地点流量を試算的に合成し、下流部の既知の推算流量に合致する

ごとく求めた場合の No. 22 の観測地点における推算流量の計算図表は図-35のとおりである。

(ii) 同地点 (No. 22) について昭和 28 年 7 月 19 日観測に基づく推算図表並びにこれを明治 29 年 8 月 30 日降雨に対応させたものを図-36に示す。

(iii) 図-35と図-36とを比較対照すると両者はほとんど一致することがわかる。これはすなわち昭和 27 年度の実測資料に基づいて算出した流出函数が、昭和 28 年 7 月 19 日降雨に対しても適用されることを示すわけである。

6) 各河川の任意の地点ごとの外水流量と内水流量(集水量)の推定

a) 各河川流域ごとに前記の平野川筋と同様に、任意の地点の集水区域ごとに流出函数の方法のよつて流出量-時間曲線を算出し、時差を考慮して合成し下流側観測地点の既知の流量曲線に合致するごとく試算的に求めた。

図-36(1) 平野川上流(No.22)流量合成
(昭和28年7月19日)

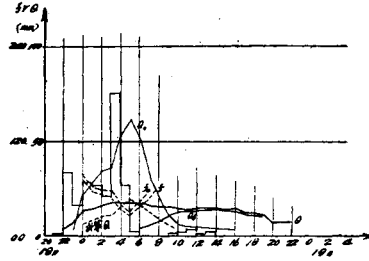


図-36(2) 平野川上流(No.22)流量合成
(明治29年8月30日)

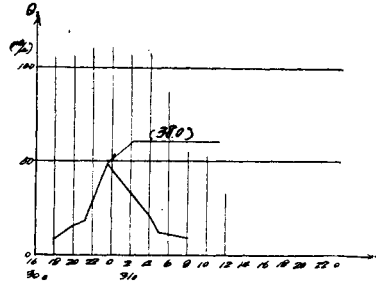


図-37(1) 古川流域流量計算図表
(昭和27年7月11日)

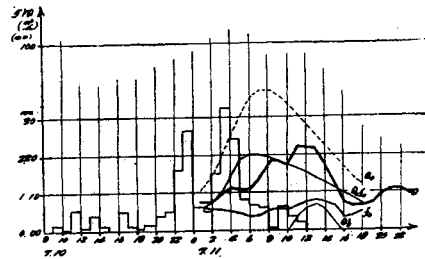
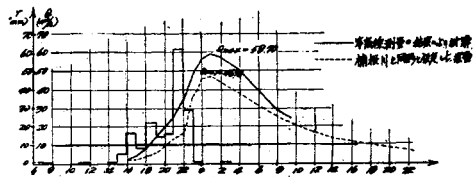


図-37(2) 古川筋推定流量の時間曲線
(明治29年8月30日)



地域によつては簡単のため流出函数法によつて合成する代りに三角形 unit graph 法によつて求めたものもある。

その一例を図-38に示す。

b) 内水排除の pump up の計画に当つては、上記のようにして各集水区域ごとに集水量-時間曲線を算出したものを基準として、土地利用計画、経済効果等を勘案して、市街地に対しては完全排水を農地に対しては農地として許容し得る限度(許容湛水深約 20 cm, 湛水時間約 24 時間)として計画することとした。

c) 流出函数による方法と他の方法による場合との流入量の比較計算

大阪市街地の一例をとつて従来の Brix 氏法による場合と流出函数による場合とを比較計算すると、次のごとく peak の値はおおむね合致する。

i) Brix 氏法

$$Q = \frac{C \cdot R \cdot A}{\sqrt[3]{A}}$$

ここで A: 集水面積=137 ha

R: 最大降雨強度=60 mm/h=0.1667 m³/ha

C: 0.5

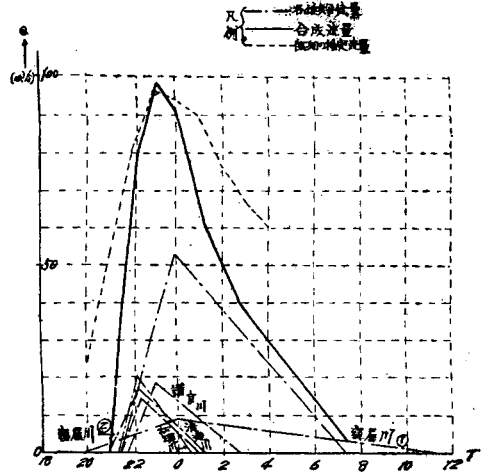
Q=5.03m³/sec

ii) 流出函数による方法

$$q = 0.2778 \times 0.28 \times r \{ [e^{-\alpha t} (\alpha t + 1) - e^{-\alpha' t} (\alpha' t + 1)] + [e^{-\alpha_0 t} (\alpha_0 t + 1) - e^{-\alpha_0' t} (\alpha_0' t + 1)] \}$$

Q=5.54 m³/sec

図-38 寝屋川上流部(No.4)合成流量表
(三角形法による合成)
(明治29年8月30日降雨)



9. 大川筋河口の計画高水位の推定——大阪湾の潮位

1) 概要

寝屋川水系の計画高水位決定の基準として大阪湾における潮位を O.P. 上何 m におさえるかが重要な問題である。従来は大阪市内河川の低水荷揚小段の護岸天端高が満潮位に対して安全であるものとして O.P. (+)2.70 m とされていること、及び従来の異常高潮位を除いた潮位記録によると O.P. (+)2.70 m を取れば妥当であるとの理由から、計画水位を O.P. (+)2.70 m を採用している。

しかし O.P. (+)2.70 m とすることについては疑問の点があり、やや安全過ぎるおそれもあると考えられるので、さらに過去の降雨量と潮位との関係資料を調査し、あわせて大阪港推算潮位により計画水位の再検討を試みた。

2) 大阪湾の推算潮位

大阪港の天保山はちょうど安治川口に位置しており、地形上大川河口における計画高水位を検討するには、天保山の記録を用いるのが得策と考えられる。

表-21に大阪港の天保山における異常潮位を考えない場合の推算潮位を示す。本表は中央气象台及び大阪管区

表-21 大阪港天保山推算潮位

年	1	2	3	4	5	6	7	8	9	10	11	12	平均	最高	最低	備考	
14	1.92	1.97	1.98	1.99	2.00	2.02	2.03	2.11	2.19	2.07	1.99	2.09	2.02	2.17	2.04	1.97	明治29年8月30日降雨
15	1.92	1.94	1.98	1.98	2.05	2.19	2.11	2.27	2.31	2.28	2.02	1.96	2.085	2.07	2.04	1.97	
16	1.91	1.82	1.87	1.82	1.94	2.09	2.11	2.15	2.14	2.08	1.97	1.95	2.040	2.04	2.01	1.97	
17	1.91	1.89	1.89	1.89	2.04	2.17	2.25	2.25	2.25	2.08	1.98	1.96	2.039	2.05	2.05	1.97	
18	1.91	1.91	1.91	1.89	2.04	2.21	2.26	2.32	2.08	1.94	1.95	2.013	2.04	2.12	2.05	1.97	
19	1.89	1.89	1.89	1.89	1.87	1.91	2.07	2.07	2.05	2.11	1.88	1.88	2.07	2.21	2.02	1.92	
20	1.88	1.88	1.88	1.88	1.94	2.09	2.18	2.22	2.25	2.13	1.97	1.92	2.04	2.25	2.01	1.94	
21	1.87	1.83	1.87	1.82	1.82	2.17	2.21	2.22	2.18	2.11	1.97	1.93	2.019	2.21	2.01	1.92	
22	1.87	1.88	1.86	1.87	1.94	2.11	2.23	2.26	2.18	2.15	1.94	1.89	2.019	2.24	2.02	1.97	
23	1.87	1.82	1.89	1.85	1.92	2.01	2.14	2.27	2.15	2.04	1.88	1.88	2.018	2.27	2.03	1.97	
24	1.85	1.85	1.88	1.81	1.94	2.11	2.17	2.21	2.21	2.09	1.87	1.88	2.012	2.21	2.02	1.94	
25	1.85	1.85	1.88	1.81	1.94	2.11	2.17	2.21	2.21	2.09	1.87	1.88	2.012	2.21	2.02	1.94	
26	1.85	1.85	1.88	1.81	1.94	2.11	2.17	2.21	2.21	2.09	1.87	1.88	2.012	2.21	2.02	1.94	
27	1.85	1.85	1.88	1.81	1.94	2.11	2.17	2.21	2.21	2.09	1.87	1.88	2.012	2.21	2.02	1.94	
28	1.85	1.85	1.88	1.81	1.94	2.11	2.17	2.21	2.21	2.09	1.87	1.88	2.012	2.21	2.02	1.94	
29	1.85	1.85	1.88	1.81	1.94	2.11	2.17	2.21	2.21	2.09	1.87	1.88	2.012	2.21	2.02	1.94	
30	1.85	1.85	1.88	1.81	1.94	2.11	2.17	2.21	2.21	2.09	1.87	1.88	2.012	2.21	2.02	1.94	
31	1.85	1.85	1.88	1.81	1.94	2.11	2.17	2.21	2.21	2.09	1.87	1.88	2.012	2.21	2.02	1.94	
32	1.85	1.85	1.88	1.81	1.94	2.11	2.17	2.21	2.21	2.09	1.87	1.88	2.012	2.21	2.02	1.94	
33	1.85	1.85	1.88	1.81	1.94	2.11	2.17	2.21	2.21	2.09	1.87	1.88	2.012	2.21	2.02	1.94	
34	1.85	1.85	1.88	1.81	1.94	2.11	2.17	2.21	2.21	2.09	1.87	1.88	2.012	2.21	2.02	1.94	
35	1.85	1.85	1.88	1.81	1.94	2.11	2.17	2.21	2.21	2.09	1.87	1.88	2.012	2.21	2.02	1.94	

気象台発行の「大阪港潮位表」によつたものである。

潮位は異常なる気象の影響等のない状態にあつては5 cm内外の精度を有するものであるが、本表によると昭和14年から昭和28年までの11年間に於いて最高はO.P.(+)2.31 mであり、各年最高の平均潮位はO.P.(+)2.242 m、洪水時期たる6,7,8,9,10の各月最高の平均はO.P.(+)2.230 mで各年の平均はO.P.(+)2.168 mを示している。

3) 著名台風時の潮位と降雨量との関係分析

過去における台風について大阪管区気象台で調査し、このうち代表的著名な異常台風について高潮位と降雨量との関係を表-22に示す。これによると異常高潮位を起すような台風の場合は降雨量は少ないことを示しており、比較的降雨量の大きなものでも高潮位の時刻と雨量強度の大きい時刻との差が大であるから上流からの最大洪水量が到達したときには潮位が相当低いことがわかる。しかして最大洪水量と高潮位とが一致するものについては降雨量が大体60 mm以下であることがわかる。ただ今度の28年9月25日13号台風のみは特異な台風で降雨量も比較的大であるが、かかる台風は従来の記録にはなかつたものである。

表-22 著名台風時の潮位と降雨量

Table with columns: 年日 (Year/Day), 気象台 (Weather Station), 潮位の最高値 (Max Tide), 最大雨量 (Max Rainfall), 潮位と雨量の差 (Tide-Rain Diff), 降雨時間 (Rain Duration). Rows list various typhoon events with specific data points.

4) 多雨時 (50 mm 以上) 降雨量と潮位との関係分析

前項とは逆に大阪管区気象台にて50 mm以上の降雨量について調査しこの降雨の最大時附近の潮位がどの程度

表-23 降雨量 (50 mm 以上) と天保山潮位表

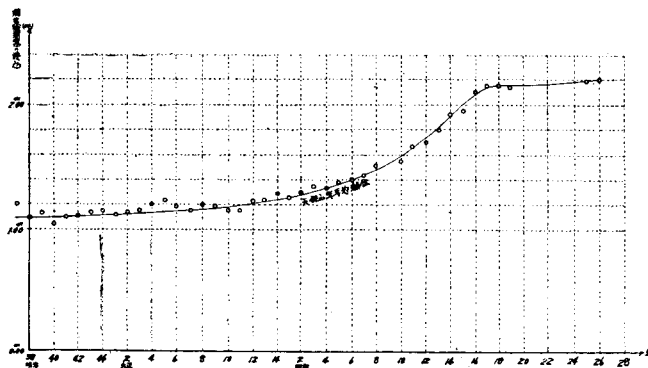
Table with columns: 年日 (Year/Day), 最大雨量 (Max Rainfall), 潮位 (Tide), 天保山潮位 (Teppe-san Tide), 備考 (Remarks). Rows show daily data for heavy rain events and corresponding tide levels.

備考: 天保山地盤沈下による潮位の補正

上の各表については天保山地盤沈下による補正を加える必要がある。この場合天保山の年平均潮位は変わらないものとして、その基準高は昭和25年、26年の平均潮位を平均したO.P.(+)1.355 mを採用するものと表-24に示す平均潮位変化図表より補正量を算出した。

であるかを表-23に示す。本表によると降雨の多いときはほとんど異常な高潮はあらわれていない。すなわちこの最大降雨時附近の最高潮位が O.P.(+)2.30 m を突破するものは4回であるが、このうち連続雨量が100 mm 以上に対するものは昭和 26 年 7 月 O.P.(+)2.305 m 及び同 28 年 9 月 25 日に O.P.(+)2.740 m が現われている。

表-24 大阪港天保山年平均潮位変化図



5) 基準潮位(計画高水位)の決定

以上の調査により次のように考えられる。

a) 大阪港で異常潮位を起す台風はいわゆる「風台風」でこの場合は比較的降雨量が小である。特に異常高潮位時刻と相当時間がずれる。

従つて異常潮位を計画の対称とすることは安全に過ぎ不経済と考えられるのでこれは計画の対称外とする。

b) 降雨量大なる場合は大阪港に異常潮位はともなわない。この場合過去の記録にあらわれた実績をみると100 mm 以上に達する降雨量の最大降雨時刻附近の潮位は O.P.(+)2.305 m が1回現われる。

c) ただ昭和 28 年 9 月 25 日の 13 号台風は特異なもので異常潮位と雨量とがおおむね合致しているが、かかる現象は過去の記録になかったことであり、統計上からもほとんど起り得ないものと考えられる。しかし異常潮位としてはもちろん室戸台風、シエーン台風に対しておとるものである(13号台風に対する計画堤防高の安全度については後述する)。

異常潮位を考えない場合の大阪港の推算潮位の昭和 14 年以降の年最高は (+)2.31 m (平均年最高は O.P.(+)2.24 m) を示している。

d) 以上の理由により大川筋河口の計画高水位は O.P.(+)2.30 m 程度にすることとする。

e) 以上は寝屋川水系の各地点の計画高水量とあわせて計画高水位を算出する場合の基準となる河口の計画高水の決定法を述べたものである。異常高潮位に対する計画堤防高の安全性に対しては水門あるいは parapet 等の方法によつて別途考慮する必要がある。

10. 改修計画の諸元に関する考察と扱い方

1) 雨 量

計画雨量は既往の記録中の最大のものをとるものとして、明治 29 年 8 月 30 日の降雨を対称とし、これが全流域に同時に降るものとしたことは前述のとおりである。

従つて万一これ以上の降雨があつた場合は低湿地はもともと自然排水が困難であるから各地区の内水排除のポンプの運転操作をできるだけ計画的に調整して滞水量を加減することが考えられ、堤防決潰等危険はないものと考えられる。降雨に対して確率が成り立つものとして、確率統計論の見地から降雨量の確率年数等については別に検討を加え、計算上は一応約 60 年降雨と出たが詳細は別の機会にゆずる。

2) 流量(外水全流量)

計画流量は降雨が浸水を生じないで、そのまま自然流下により河道に流出するものとして取扱つた(古川筋のみについては一部滞水量を控除したものを計画の対称とした)。計画流量の算出には前述のごとく将来の土地利用計画を考慮した。

3) 高 水 位

a) 大川筋河口の基準となる計画高水位は前述のごとく O.P.(+)2.30 m として、これから出発することとした。しかし感潮区域において大半洪水時に逆流が現れないということと振巾が固有流量の増大とともに次第に減少して洪水時の水位は河口海面の水位に対応した洪水流の堰上背水に近い形をとり流量の peak 附近においては定流に近い流れ方をするものと考えられるので、各地点の計画高水位算定は精度を失しない範囲内で時間的な変化を考えないで、河口の水位 O.P.(+)2.30 m と上流各区分の計画高水流量とを組合わせて、実測資料から有効流積を考慮して、

不等流量算式

$$i \Delta x - \Delta h = \left[\frac{S_m}{C^2} \cdot \Delta x - \frac{\alpha \cdot \Delta A}{g} \right] \frac{Q^2}{A_m^3} \quad (\text{本間 仁著: 流量計算法, pp.178})$$

により算出する方法をとつた (不定流数値計算による方法の詳細については別の機会にゆづる)。この水位計算例を表-25に示す。

またこれに関連して安治川と木津川間及び堂島川と土佐堀川に分流量はそれぞれの上下流の計算水位が合致するごとく試算的にこれを決定した。

表-25 第二寝屋川 (仮称) の背水計算による高水位計算

寝屋川合流点—猫間川 (No. 0~No. 7)

No. 0 地点は決定済 $h_0 = 4.685 \text{ m (O.P. 2.760 m)}$

$$A_0 = 215.004 \text{ m}^2$$

$$S_0 = 60.768 \text{ m}^2$$

$$\Delta x = 730 \text{ m 河床高 No. 0 O.P.} - 1.925, \text{ No. 7 O.P.} - 1.673$$

$$i \Delta x = 0.252$$

いま $\Delta h = 0.056$ と仮定すれば $h_7 = 4.629 \text{ (O.P. 2.956)}$

$$A_7 = 213.955$$

$$S_7 = 60.702$$

$$A_m = 214.479$$

$$S_m = 60.735$$

$$\Delta A = 1.049$$

$$R_m = 3.531 \quad \sqrt{R_m} = 1.879$$

$$C = \frac{67.495}{1.365} = 49.44 \quad C^2 = 2440.36$$

$$i \Delta x - \Delta h = (18.168 - 0.117) \times \frac{331^2}{214.479^3} = 0.200$$

$$\Delta h = i \Delta x - 0.200 = 0.052 \text{ となり } 0.056 \text{ と多少異なる。}$$

そこでさらに

$$\Delta h = 0.052 \text{ とすれば } h_7 = 4.633 \text{ (O.P. 2.960)}$$

$$A_7 = 214.166$$

$$S_7 = 60.712$$

$$A_m = 214.585$$

$$S_m = 60.740$$

$$\Delta A = 0.838$$

$$R_m = 3.532 \quad \sqrt{R_m} = 1.879$$

$$C = 49.4$$

$$i \Delta x - \Delta h = (18.169 - 0.094) \times \frac{331^2}{214.585^3} = 0.200$$

$$\Delta h = i \Delta x - 0.200 = 0.052 \text{ となり仮定と合致する}$$

$$\therefore h_7 = 4.633 \text{ (O.P. 2.960)}$$

b) 異常高潮位に対する堤防高の安全については別途に検討を加えることとした。特に 13 号台風に対する堤防高の安全度を検討するため改修完了後 13 号台風と同条件で出水があつた場合の各地点の水位を算出したものを図-37に示す。計画堤防高はジェーン台風等の異常高潮位に対して安全なるように決定すれば、13 号台風に対しては上下流とも安全である (検算の詳細は省略する)。

c) 外水位—時間曲線

pump 排水の基礎資料となる各地点河道の外水位—時間曲線の算出例は図-39に示すごとく、前述の満干潮時水位差の減衰図表 (図-25) を利用して計画高水流量が流下する場合の外水位持続時間の最も長い場合を求めた。

図-39(1) 寝屋川(西三莊水路合流点) 外水位-時間曲線

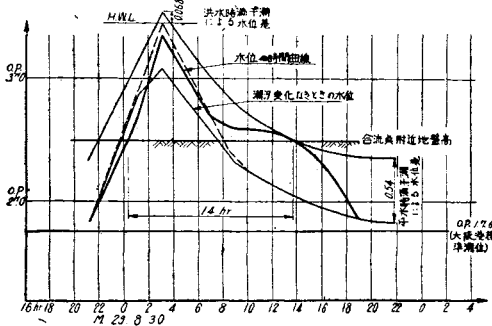
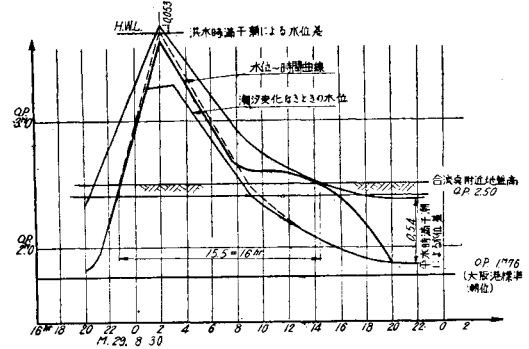


図-39(2) 寝屋川(古川合流点) 外水位-時間曲線



4) 粗度係数

a) 粗度係数 n を実測流量の peak 附近のものについて護岸既改修の寝屋川下流部にたいして逆算してみると次のごとくなる。

片町 (No. 1) ~ 徳庵 (No. 2) 間

平均流速	同時水位勾配	Kutter 公式による n 逆算値
0.640 m ³ /sec	1/13 000	0.025
0.654 "	1/12 000	0.021

徳庵 (No. 2) ~ 鴻池 (No.3) 間

平均流速	同時水位勾配	Kutter 公式による n 逆算値
0.84 m ³ /sec	1/5 700	0.012
0.86 "	1/4 000	0.024

b) 大川筋に対する n の換算

上記の $n=0.025$ の値をとる場合、昭和 27 年 7 月 2 日の実測値と計算値とを大川筋の下流部(西の鼻)と上流部(毛馬)との水位にたいして有効流積は各断面で逆流がないものとして比較対照してみると次のようになる。

(i) 27 年 7 月 2 日実測に基づく推定流量

大川筋合成流量 230 m ³ /sec	}	大川上流部(毛馬放流量) 80 m ³ /sec
		平野川流入量 80 "
		寝屋川 " 48 "
		猫間川 " 11 "
		鯉江川 " 11 "

(ii) 西の鼻(堂島川・土佐堀川合流点附近)の 2 日 21 時水位 O.P.(+)2.03 m

(iii) 堂島川と土佐堀川の分流量

堂島	120 m ³ /sec	}	230 m ³ /sec
土佐堀	110 "		

(不等流算式により上下分流点の水位を合致するとく算出した)

(iv) $n=0.025$ として下流(西の鼻)から出発して上流端毛馬までの水位差を不等流算式により計算した値と毛馬量水標の水位とを比較対照すると、

毛馬	計算値	O.P.(+) 2.193 m	}	のごとくなりほとんど一致する。
"	実測値	O.P.(+) 2.200 "		

備考: 大川筋は下流部に至るに従つて潮汐の影響が次第に大となるが、その影響は n の計算値の中に、皺寄せされて入ってくるものと考えられるので有効流積は各断面で逆流がないものとして上記の n の値を用いて水位計算を実施しても差支えないものと考えられる。

ただ安治川河口付近では洪水時においても潮汐の影響が大となると考えられるから上記の n の値を採用すると

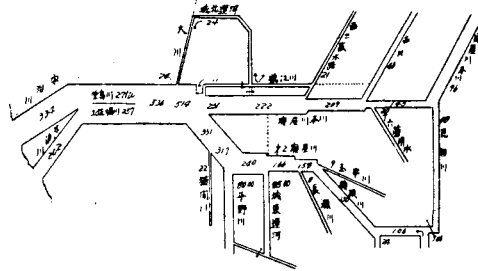
しても有効流積は全断面をとることはさける。

(e) 以上の検討に基づき断面決定に用いる n の値は寝屋川下流部程度の護岸すなわちコンクリート矢板護岸あるいは石張護岸を用いる場合は 0.025 を採用する。

5) 砂防計画の諸元

砂防計画の考え方としては今次の 13 号台風による荒廢状況を調査しこの資料を基準として林相・地質及び砂防施設の現況より将来発生する崩壊状況を計数的に分析して推定した(詳細は別の機会にゆづる)。

図—40 明治 29 年 8 月 30 日降雨 (単位: m^3/sec , 流量: $20 m^3/sec$, m^3/mm)
を対称とする各地点流量



11. 改修の基本計画

1) 概要

以上の各種の資料に基づいて次の基本方針を確立すれば技術的には治水の目的を達し得るものと確信される。

a) 現在の寝屋川本川下流部は人家工場等の密集地域で拡巾困難であるから、これと別途に密集地域をさけて第二寝屋川(仮称)を開削して流域を変更南北に二分する。

b) 前項のほか城北運河及び鯉江川上流部の流量は城北運河により別個に直接大川に放流する。

c) 改修は主要幹川を対称とし各河川の河床をできるだけ掘削して高水位及び低水位の低下を図り、自然流下による排水範囲をできるだけ拡大し耕地の二毛作化を促進せしめ、かつ航行に必要な水深の増加を図る。

d) 寝屋川洪水時には毛馬洗堰を干満潮に応じて一時これを閉ちて大川筋の通水負担を軽減し、高水位の低下を図る。

e) 低地で自然排水により内水排除の不能なる地区については将来の土地利用区分を考慮に入れ、経済効果を勘案して幹川排水路あるいは小河川の改修とポンプ排水施設の計画を考へることとする。すなわち市街地については完全排水施設を、現在農地に対しては農業経済効果に応じた排水施設を考へる。

f) 用水系統と排水系統との有機的調整を図るため、鴻池堰その他の用水路を別個に新設する。

g) 各河川の通水断面積算定に当つては将来の土地利用計画をも考慮に入れ原則として降水量の完全排水を目標とするが古川については将来その流域がおおむね農地として残存するものとして計画流量を考へる。

h) 各河川の土砂の堆積は主として生駒山系からの流出によるものであるからこれを防止するため砂防施設を計画する。この場合、山地崩壊による一時的生産土石の貯留にはダムを、また永続的な土壤浸蝕による生産土石の流下防止には砂溜工を計画する。

12. 経済効果の測定

経済効果は、事業計画が費用と便益とのバランスを勘案したものとなるよう詳細にわたつて年単位に測定すべきものである。かかる見地から次のように整理して考察を進めた。この場合事業計画については年度割等について一応の仮定を設けた。

1) 便益

a) 消極的効果(被害減少額)

(i) 改修により減少する水害損失額(過去 10 箇年間平均)これは改修完了後の翌年から 1 455 900 000 円が生ずるものとして、事業開始の翌年度たる昭和 29 年度から起算し、事業の進捗ともなう各年度ごとの額を算出計上した(1 455 900 000 円の算出基礎は前記の 4. の 6)「既往の被害調査」の項による)。

b) 積極的効果

(i) 地価騰貴額 将来の土地利用計画からブロック別に新たに増加する(農地あるいは林地から移動)工場地・業務地あるいは住宅地を推定して地価の相対的値上額を算出し、これが事業の進捗にもなつて年々発生する。すなわち事業の第一期完了後の翌年度から起算し、20箇年間に均等に発生するものと仮定した。最終騰貴額累計を31 066 650 000円とした。

(ii) その他の増加便益は計数的に測定困難でもあり安全側でもあるので省略した。

2) 費用

(a) 事業投資額

事業投資額の計上にあつては昭和28年度より事業が始まり、38年度で完成するものと一応仮定して最初の6箇年を第1期、次の5箇年を第2期と仮定した。

b) 事業投資額は大蔵省資金運用部資金を借入れた場合を仮定し、利子は年利率6分5厘、元金は5箇年据置20箇年償還とした。

c) 人件費・修繕費その他の経費は別途経費より支出するものとして省略した。

3) 償却

かくして償還計算を実施した結果、償却年度は事業完成後の4年目に当る昭和42年度となつた(計算表の詳細は省略する)。

13. 結 言

以上、調査より出発して、改修基本計画樹立に至るまでのあらましを論述したのであるが、調査はこれをもつて完了したわけではなく、なお流量関係等の精度を権威づけるため引続き調査を実施する予定である。各位の御批判をまつて逐次補正してゆく考えであるが、この調査が契機となつて大阪多年の宿命であり懸案であつた低湿地の解消が実現し、西に発展をはばまれたこの都市が東に大きくのびて行くことができ得ればわれわれのもつとも本懐とするところである。また本文がこの種の低湿地緩流河川の計画に何らかの参考になれば幸いである。終りに当り指導を賜つた主なる方々並びに、本調査に当り御協力を賜つた主なる方々の御芳名を記載して深甚なる謝意を表する次第である。

御指導を賜つた主なる諸氏 (敬称省略・順序不同)

元内務技監 谷口三郎 建設省河川局 山本三郎・川村満雄・里吉忠典・紀本正二 建設省土木研究所
松村孫治・佐藤清一・吉川秀夫 近畿地方建設局 藤芳義男・武田良一 農林省 清野 保・山田光敏
京都農地事務局 片山良行・末沢栄太郎

御協力を賜つた主なる諸氏 (敬称省略・順序不同)

大阪市 浦上衛門・河村重俊・宇都宮公三・長瀬武司・足立 信・西村 豊・北村誠一・安田十四吾 布施市
磯崎 貫 寝屋川市 平田佐一郎 淀川左岸土地改良区 喜多 甫 大阪府土木部 生瀬隆夫・滝元俊
治・村本 宏・杉原 清・本田昭郎・荒川末次・矢寺幸四郎・中川 淑・山田建二・植田鉄男・大塚全一・長谷
川五郎・村山幸雄・清水謙三・村田重信・南 俊治 大阪府農林部 野村由俊・松本和郎・星野 修・堀田幸
雄

昭和29年7月20日印刷

土木学会論文集

昭和29年7月25日発行

第 20 号

定 価 150 円

著 者 広長良一・八島忠・坂野重信(大阪府土木部)

編集兼発行者 東京都千代田区大手町2丁目4番地

中川 一 美

印刷者 東京都港区赤坂溜池5番地

大沼 正 吉

印刷所 東京都港区赤坂溜池5番地

株式会社 技報堂

東京中央郵便局区内 千代田区大手町2丁目4番地 電話和田倉(20)3945・4078番
振替 東京 16828番

発 行 所

社 団 法 人

土 木 学 会

